

بررسی نقش اکسید بیسموت و اکسید گادولینیوم به عنوان یک تقویت‌کننده بر توانایی محافظه گاما ترکیبات پلیمری مبتنی بر رزین غیراشباع با استفاده از ابزار شبیه‌سازی مونت کارلووی چیت^۴

مجتبی رحمانی ورکی، مهدی عشقی* و محمد رضا علی پور

گروه فیزیک، دانشگاه جامع امام حسین(ع)، تهران

(تاریخ دستیافت: ۱۴۰۳/۵/۲۴؛ تاریخ یزدیگش: ۱۴۰۳/۹/۴)

<https://doi.org/10.47176/jame.43.4.1071>

چکیده: حضور سرب به عنوان اولین محافظ پرتوئی با یک سری ویژگی‌های خوب مانند چگالی زیاد و داشتن مقداری انعطاف‌پذیری و یک سری ویژگی‌های نامناسب مانند سمی بودن، پایداری فیزیکی و شیمیایی پایین و وزن زیاد، مدت زیادی است دانشمندان را به فکر جایگزین برای آن آنداخته است. در این پژوهش، ویژگی‌های محافظتی در برابر پرتو گاما ترکیبات پلیمری با اکسید(گادولینیوم-تلوریم-بیسموت) $(\text{Gd}_2\text{O}_3)_x - (\text{TeO}_2)_{(30-x)} - (\text{resin})_{30}$ (در اینجا x برابر است با 15 ، 10 و 20 درصد وزنی) و $(\text{Bi}_2\text{O}_3)_{40} - (\text{TeO}_2)_{(40-x)}$ (resin) $_{20}$ (در اینجا x برابر است با 20 ، 25 و 30 درصد وزنی) با استفاده از ابزار شبیه‌سازی مونت کارلویی جینت^۴ در محدوده $0^{\circ}/15^{\circ}$ تا $15^{\circ}/0^{\circ}$ مگا الکترون‌ولت بررسی می‌شود. در این بررسی، کمیت‌های مربوط به تضعیف فوتون مانند ضریب تضعیف خطی، ضریب تضعیف جرمی، لایه یکدهم مقدار، لایه نیم‌مقدار، عدداتمی مؤثر، چگالی الکترونی مؤثر، سطح مقطع اتمی کل، سطح مقطع الکترونی کل و مسیر آزاد میانگین و همچنین طیف ذرات ثانویه ایجاد شده به تنکیک نوع و انرژی آنها برای سطوح مختلف انرژی گامای فروودی نشان داده می‌شود. برای اعتبارسنجی نتایج شبیه‌سازی، مقادیر ضریب تضعیف جرمی محاسبه شده از جینت^۴ با نتایج برنامه Phy-X مقایسه شده که نشان می‌دهد توافق خوبی با یکدیگر دارند. توافق بین داده‌ها، نشان می‌دهد که ابزار جینت^۴ یک روش خوب جهت بررسی ویژگی‌های حفاظت پرتوی گاما می‌باشد. نتایج بدست آمده نشان می‌دهد، توسعه رزین‌ها با افزودن اکسید فلزات واسطه مانند: گادولینیوم، تلوریم و بیسموت، در ترکیبات آن‌ها، سبب می‌شود خاصیت حفاظتی آن در برابر پرتو گاما نیز افزایش یابد.

واژه‌های کلیدی: پرتو گاما، حفاظت، ترکیبات پلیمری، اکسیدبیسموت، اکسیدگادولینیوم، جینت.^۴

* مسئول مکاتبات، پست کتر و نیکو : meshghi@ihu.ac.ir

Investigating the Role of Bismuth Oxide and Gadolinium Oxide as an Enhancer of the Gamma Shielding Ability of Polymer Compounds Based on Unsaturated Resin Using the Monte Carlo Simulation Geant4 Tool

M. Rahmani Vareki, M. Eshghi * and M.R. Alipoor

Imam Hossein Comprehensive University, Tehran, Iran

ABSTRACT

The presence of lead as the first radiation shielding with a series of good features such as high density and having some flexibility and a series of inappropriate features such as toxicity, low physical and chemical stability, and high weight, has long made scientists think about alternatives. In this research, the protective properties against gamma radiation of polymer compounds with oxide (gadolinium-bismuth tellurium) $(\text{Gd}_2\text{O}_3)_x(\text{TeO}_2)(30-x)$ - (resin)30 - $(\text{Bi}_2\text{O}_3)40$ (which here x is 10, 15, and 20% by weight percent) and $(\text{Gd}_2\text{O}_3)_x-(\text{TeO}_2)(40-x)$ (resin)20 - $(\text{Bi}_2\text{O}_3)40$ (where x is 20, 25, and 30 by weight percent) was examined using the Monte Carlo simulation tool Gent4 in the range of 0.015 to 15 MeV. In this study, the quantities related to photon attenuation such as linear attenuation coefficient, mass attenuation coefficient, one-tenth-value layer, half-value layer, effective atomic number, effective electron density, the total atomic cross section, the total electron cross section, and the mean free path as well as the spectrum of secondary particles created according to their type and energy for different levels of incident gamma energy have been evaluated. The mass attenuation coefficient values calculated from Geant4 were compared to the Phy-x results to validate the simulation results. The results showed a good agreement with each other. The agreement between the data revealed that the Geant4 tool was a good method to examine the properties of gamma ray shielding. The obtained results declared that the development of resins with the addition of oxides of transition metals such as gadolinium, tellurium, and bismuth increases the protective against gamma rays.

Keywords: Gamma ray, Shielding, Polymeric compounds, Bismuth oxide, Gadolinium oxide, Geant4.

مانند نیروگاههای هسته‌ای، مصارف صنعتی، کاربردهای پزشکی و کشاورزی استفاده می‌شوند، نیاز به مطالعه اثر پرتو گاما در بر روی مواد با افزایش کاربردهای آن، افزایش یافته است (۷ و ۸). برهمنش پرتو با ماده عمدتاً به انرژی، شدت تابش و نوع ماده جاذب بستگی دارد. مطالعه جذب پرتوهای گاما در مواد محافظ مخصوصاً برای میدان‌های مختلف پرتویی مهم است. با وجود اینکه پرتوها کاربردهای فراوانی دارد، بهویژه در حرفه پزشکی، این یک واقعیت شناخته شده است که قرار گرفتن در معرض تابش می‌تواند تأثیر منفی بر سلامت انسان و سایر موجودات زنده داشته باشد. استفاده از مواد محافظ مؤثر در برابر تشعشع، بهترین راه مطمئن برای محافظت از خطرات غیر قابل جبران تشعشع است (۹). ماده محافظ رایج در عمل، برای محافظت در برابر قرار گرفتن در معرض پرتوهای گاما و ایکس، سرب است، اما سمی، سنگین و فاقد پایداری شیمیایی، و انعطاف‌پذیری است. برای غلبه بر این معایب سرب، محققان می‌توانند یک

۱- مقدمه

مواد مرکب موادی هستند که از دو یا چند ماده با خصوصیات شیمیایی و فیزیکی متفاوت تشکیل شده‌اند. آن‌ها از ماتریس (سرامیک، پلیمری یا فلزی) و تقویت‌کننده (الیافی، ذرهای یا ورقه‌ای) تشکیل شده‌اند. یک کامپوزیت پلیمری از یک پلیمر به عنوان ماتریس و هر یک از تقویت‌کننده‌ها بر اساس نیاز تشکیل شده است. انواع پلیمرها مانند ترمопلاستیک، ترموموست مختلف به عنوان پُرکننده در هنگام ساخت کامپوزیت‌های پلیمری استفاده شده‌اند. کامپوزیت‌های پلیمری جایگاه خود را در زمینه‌های مختلفی مانند زیست‌پزشکی، صنعت خودرو، هواضما و ساخت و ساز پیدا کرده‌اند (۱-۴). علاوه بر این، کامپوزیت‌های پلیمری کاربرد خود را در علم و فناوری هسته‌ای بهویژه در حفاظت در برابر تشعشع پیدا کرده‌اند (۵ و ۶). با توجه به این نکته که پرتوهای گاما در بسیاری از زمینه‌های گسترده

برای جذب تشعشعات پرانرژی مانند پرتوهای گاما و اشعه ایکس که بسیار نافذ هستند و اثرات مضر مختلفی دارند، مناسب هستند. استفاده از این فلزات در بهبود خاصیت حفاظی ماده مؤثر است. بررسی تأثیر ابعاد ذرات این فلزات در خاصیت حفاظی ماده توسط المقرین و همکاران انجام شده است (۲۹). بسیاری از محققان از کامپوزیت‌های پلیمری فوق الاستیک رزینی به عنوان تقویت‌کننده ثانویه در کامپوزیت‌ها برای بهبود پاسخ آن‌ها استفاده کرده‌اند. مهم‌تر از آن، بررسی‌های قبلی عمده‌تاً بر توانایی تضییف انرژی مواد محافظ متتمرکز شده‌اند؛ در حالی که آسیب‌های بیولوژیکی ناشی از تجمع مستمر دوز تشعشع را نادیده می‌گیرند (۳۰ و ۳۱). با این حال، تحقیقات اخیر پتانسیل قابل توجه پلیمر و کامپوزیت‌های آن را در کاربردهای زیست‌پزشکی نشان داده است. به عنوان مثال، لی و همکاران (۳۲)، یک کامپوزیت چندلایه برای پیشگیری از آسیب بیولوژیکی توسعه دادند. علاوه بر این، ارزیابی اثربخشی مواد محافظ تشعشعی تنها با درنظر گرفتن توانایی کاهش شدت آن‌ها دیگر اهمیت علمی و عملی کافی ندارد. جدیداً یک راهبرد ارزیابی یافت شده است که به طور همزمان هم توانایی تضییف شدت و هم انباشت دوز تشعشع را درنظر می‌گیرد و اهمیت ارزیابی جامع توانایی محافظ مواد را برجسته می‌کند (۳۳).

در این کار، ماتریس رزین با تقویت‌کننده اکسید بیسموت، اکسید تلویریم و اکسید گادولینیوم برای ارزیابی توانایی تضییف پرتو گاما و جذب ذرات ثانویه حاصل از تضییف پرتو گاما مورد بررسی قرار می‌گیرد. علاوه بر این، پارامترهای تابش گاما مربوطه با استفاده از چنین پارامترهای مفیدی مانند ضریب تضییف خطی، ضریب تضییف جرمی، لایه نیم مقدار، لایه یک‌دهم مقدار و تجزیه و تحلیل ذرات ثانویه تولیدی تعیین شدند. انتظار می‌رود ترکیبات پلیمری تازه معرفی شده جایگاه مهمی در بسیاری از زمینه‌های فنی و کاربردهای صنعتی برای تولید محافظهای کارآمد برای پرتو گاما و اشعه ایکس داشته باشند.

ماده محافظ بدون سرب بسازند که وزن سبکی دارد و در جذب تشعشعات پر انرژی مؤثر است (۱۶-۱۰). تلاش‌های تحقیقاتی روزبه روز در حال افزایش است، به گونه‌ای که مطالعات گوناگونی در مورد محافظهای تشعشع ترکیبات پلیمری گزارش شده است. ترکیبات پلیمری پیشنهاد خوبی هستند، زیرا پلیمرها نقش مهمی در حفاظت اولیه و ثانویه در برابر تشعشعات گاما دارند (۱۷ و ۱۸). مزیت اصلی استفاده از پلیمرها به عنوان ماتریس، هزینه کم، پردازش آسان، مقاومت شیمیایی خوب، وزن مخصوص کم و وزن سبک است. زیرا پلیمرها موادی هستند که به دلیل وجود ساختارهای متقطع یا شبکه‌ای با پیوند کووالانسی با همه مولکول‌ها به طور گسترده مورد استفاده قرار می‌گیرند و چشم‌انداز خوبی برای عملکرد طولانی در محیط تابش دوزهای تا ۲۰ میکروسیورت بر ساعت دارند (۱۹ و ۲۰). ترکیبات محافظ تشعشع مبتنی بر پلیمر، مواد ماتریس و پرکننده بر اساس کاربرد انتخاب می‌شوند. از این‌رو، ترکیبات پلیمری به ابزاری جذاب برای توسعه موادی پلیمری تبدیل شده‌اند که می‌توانند برای کاهش مؤثر تشعشعات با انرژی بالا طراحی شوند (۲۱ و ۲۲). به خصوص، پلیاسترها غیراشباع به عنوان یک ماتریس در محافظهای کامپوزیتی می‌توانند انعطاف‌پذیری و کارایی محافظتی عالی را ارائه دهند، زیرا در برابر تشعشع مقاوم هستند (۲۳). به طور کلی، پلیمرها به خودی خود نسبت به فلزات عملکرد محافظتی در برابر تشعشع پایین‌تری دارند. با این حال، با تقویت یا هر افزودنی دیگر در ماتریس پلیمری، کامپوزیت‌های مبتنی بر پلیاسترها غیراشباع می‌توانند تولنایی محافظت در برابر تشعشع عالی را از خود نشان دهند (۲۴ و ۲۵). در پژوهش‌های بسیاری نویسنده‌گان تلاشی برای تقویت ترکیب پلیمری با اکسید بیسموت در ماتریس رزین پلیاسترها غیراشباع برای بهبود توانایی محافظت گاما آن انجام داده‌اند. با بررسی خواص بالقوه اکسید بیسموت مانند چگالی بالا، نقطه ذوب بالا، رسانایی کم و در دسترس بودن آن به صورت پودر ریز، این ماده به عنوان تقویت‌کننده، انتخاب مناسبی می‌باشد (۲۶-۲۸). فلزات سنگین

فرآیندهای فیزیکی را انتخاب کند. فوتون‌های گاما م مختلف برای طیف انرژی از ۱۵٪ تا ۱۵ مگا الکترون‌ولت تنظیم شده‌اند. برای رسیدن به هدف مورد نیاز، یک فایل ورودی ایجاد شد. نمونه حفاظت مورد محاسبه به صورت یک قرص به شعاع ۳۰ سانتی‌متر و ضخامت یک سانتی‌متر در نظر گرفته شده است که در یک حجم مکعبی جهانی به ضلع یک متر قرار داشته، مرکز این قرص در مرکز دستگاه مختصات و ضخامت آن در راستای Z قرار گرفته و فضای اطراف آن را هوا احاطه کرده است. چشممه مسئله یک چشممه نقطه‌ای گاما می‌باشد که در سمت چپ قرص و چسبیده به آن بر روی محور Z قرار گرفته است و در جهت مثبت Z تابش می‌نماید. شکل (۱) نمای سه بعدی روش‌های شبیه‌سازی را نشان می‌دهد. نمایش شماتیک هندسه انتقال پرتو باریک و نمای مقطعی که ۱۰۰ فوتون گاما را در حال عبور از نمونه پلیمری نشان می‌دهد. در این شکل، خطوط سبز داخل مکعب، ردی از پرتوهای گاما هستند. تضعیف فوتون‌ها با شبیه‌سازی تمام فرآیندهای فیزیکی ممکن برای فوتون‌ها، مانند اثرات فتوالکترونیک^۲، پراکندگی کامپتون^۳، پراکندگی ریلی^۴ و تولید زوج^۵ و همچنین برای الکترون‌ها و پوزیترون‌های ثانویه، مانند تابش ترمزی، یونیزاسیون و نابودی پوزیترون تعیین می‌شود. این فرآیندها با استفاده از مدل‌های فیزیک برای فرآیندهای الکترومغناطیسی در گزینه G4EMStandardphysics (۱-۴) شبیه‌سازی شده‌اند. این مدل‌های فیزیک مبتنی بر بسته الکترومغناطیسی هستند که از کتابخانه‌های داده ارزیابی شده استفاده می‌کند که داده‌ها را برای محاسبه مقاطع، زمانی که برهمکنش فوتون‌ها و الکترون‌ها با ماده را مدل‌سازی می‌کنند، ارائه می‌کند. به منظور افزایش دقت نتایج، هر شبیه‌سازی برای یک میلیون فوتون گاما انجام شد که این تعداد ذرات درصد خطای نسبی را به کمتر از ۱/۰۹ درصد می‌رساند که دقت خوبی است (۳۴ و ۳۵).

۳-۲- برنامه Phy-x

برنامه Phy-x برنامه‌ای است که با استفاده از داده‌های سطح

۲- مواد و روش تحقیق

۱-۲- مواد

شش ترکیبات پلیمری با اکسید گادولینیوم-تلوریت بیسموت x شده‌اند. برای رسیدن به هدف مورد نیاز، یک فایل ورودی ایجاد شد. نمونه حفاظت مورد محاسبه به صورت یک قرص به شعاع ۳۰ سانتی‌متر و ضخامت یک سانتی‌متر در نظر گرفته شده است که در یک حجم مکعبی جهانی به ضلع یک متر قرار داشته، مرکز این قرص در مرکز دستگاه مختصات و ضخامت آن در راستای Z قرار گرفته و فضای اطراف آن را هوا احاطه کرده است. چشممه مسئله یک چشممه نقطه‌ای گاما می‌باشد که در سمت چپ قرص و چسبیده به آن بر روی محور Z قرار گرفته است و در جهت مثبت Z تابش می‌نماید. شکل (۱) نمای سه بعدی روش‌های شبیه‌سازی را نشان می‌دهد. نمایش شماتیک هندسه انتقال پرتو باریک و نمای مقطعی که ۱۰۰ فوتون گاما را در حال عبور از نمونه پلیمری نشان می‌دهد. در این شکل، خطوط سبز داخل مکعب، ردی از پرتوهای گاما هستند. تضعیف فوتون‌ها با شبیه‌سازی تمام فرآیندهای فیزیکی ممکن برای فوتون‌ها، مانند اثرات فتوالکترونیک^۲، پراکندگی کامپتون^۳، پراکندگی ریلی^۴ و تولید زوج^۵ و همچنین برای الکترون‌ها و پوزیترون‌های ثانویه، مانند تابش ترمزی، یونیزاسیون و نابودی پوزیترون تعیین می‌شود. این فرآیندها با استفاده از مدل‌های فیزیک برای فرآیندهای الکترومغناطیسی در گزینه G4EMStandardphysics (۱-۴) شبیه‌سازی شده‌اند. این مدل‌های فیزیک مبتنی بر بسته الکترومغناطیسی هستند که از کتابخانه‌های داده ارزیابی شده استفاده می‌کند که داده‌ها را برای محاسبه مقاطع، زمانی که برهمکنش فوتون‌ها و الکترون‌ها با ماده را مدل‌سازی می‌کنند، ارائه می‌کند. به منظور افزایش دقت نتایج، هر شبیه‌سازی برای یک میلیون فوتون گاما انجام شد که این تعداد ذرات درصد خطای نسبی را به کمتر از ۱/۰۹ درصد می‌رساند که دقت خوبی است (۳۴ و ۳۵).

۲-۲- ابزار شبیه‌سازی جینت^۶

ضریب تضعیف جرمی برای هر نمونه پلیمر از طریق جینت^۴ با استفاده از هندسه شبیه‌سازی شرح داده شده در شکل (۱) تعیین می‌شود. این ابزار شبیه‌سازی، کاربر را قادر می‌سازد تا گزینه‌های پیشرفته زیادی را از نظر ترکیب شیمیایی نمونه‌های مورد مطالعه و نوع تابش (گاما، الکترون یا ...) انتخاب کند. این برنامه شبیه‌سازی مفید، به کاربر اجازه می‌دهد مواد را تعریف کند، هندسه آشکارساز ایجاد کند، ذرات و پرتوها را تولید کند، داده‌ها را از ترا برد برهم‌کش‌ها جمع‌آوری کند و همچنین

جدول ۱ - ترکیبات و درصد مولی عناصر ترکیبات بیهمی منتخب

نحوه‌ها	ترکیبات عناصر (درصد مولی)										
	H	C	O	B	N	Si	Ca	Al	Bi	Gd	Tc
R1	۰/۱۷۶۸	۰/۲۲۶۳	۰/۳۵۱۳	۰/۰۵۲۲	۰/۰۰۲۱	۰/۰۴۶۱	۰/۰۱۷۰	۰/۰۰۳۳۳	۰/۰۱۹۳	۰/۰۳۷۲	۰/۰۳۷۲
R2	۰/۱۷۸۲	۰/۲۲۸۰	۰/۳۴۷۹	۰/۰۵۲۹	۰/۰۰۲۱	۰/۰۴۵۷	۰/۰۱۷۲	۰/۰۰۳۲۷	۰/۰۱۴	۰/۰۲۱۸	۰/۰۲۸۱
R3	۰/۱۷۹۵	۰/۲۲۹۸	۰/۳۴۳۸	۰/۰۵۳۰	۰/۰۰۲۲	۰/۰۴۵۸	۰/۰۱۷۳	۰/۰۰۳۲۷	۰/۰۱۸	۰/۰۰۳۳۳	۰/۰۱۸۹
R4	۰/۱۴۷۲	۰/۱۸۸۴	۰/۳۹۶۲	۰/۰۴۷۶	۰/۰۰۱۶	۰/۰۲۸۴	۰/۰۱۴۳	۰/۰۱۹۲	۰/۰۰۳۷	۰/۰۴۰۹	۰/۰۴۰۹
R5	۰/۱۴۸۶	۰/۱۹۰۱	۰/۳۹۱۹	۰/۰۴۴۰	۰/۰۰۱۶	۰/۰۳۸۸	۰/۰۱۴۴	۰/۰۱۹۶	۰/۰۰۵۴۳	۰/۰۰۵۱۶	۰/۰۳۵۲
R6	۰/۱۵۰۰	۰/۱۹۱۹	۰/۳۸۷۹	۰/۰۴۴۴	۰/۰۰۱۶	۰/۰۳۹۲	۰/۰۱۴۵	۰/۰۱۹۷	۰/۰۰۵۴۹	۰/۰۴۲۶	۰/۰۴۳۷

$$I = I_0 e^{-\mu t} \quad (1)$$

که در این رابطه t ضخامت حفاظت بر حسب (cm)، μ ضریب تضعیف خطی بر حسب (cm^{-1})، I_0 شدت تابش فروندی و I شدت تابش خروجی می‌باشد. ضریب تضعیف خطی از آنجایی ناشی می‌شود که ما اگر حجمی از یک ماده را در نظر بگیریم، هر یک از اتم‌های موجود در این ماده به‌ازای هر انرژی پرتوگاما دارای سطح مقطع کل (σ_{atom}) مشخصی می‌باشد که از مجموع سطح مقطع‌های جذب فوتولکتریک (فوتوالکتریک σ)، پراکنده‌گی کامپتون (کامپتون σ)، پراکنده‌گی رایلی (رایلی σ) و تولید زوج (تولید زوج σ) آن اتم، طبق رابطه (۲)، حاصل می‌شود.

$$\text{Tolید زوج } \sigma + \text{Rایلی } \sigma + \text{کامپتون } \sigma + \text{فوتوالکتریک } \sigma = \text{atom } \sigma \quad (2)$$

از ضرب این سطح مقطع اتم در تعداد اتم‌های موجود در حجم و جمع بر روی انواع اتم‌های موجود در حجم سطح مقطع کل σ بدست می‌آید (رابطه ۳).

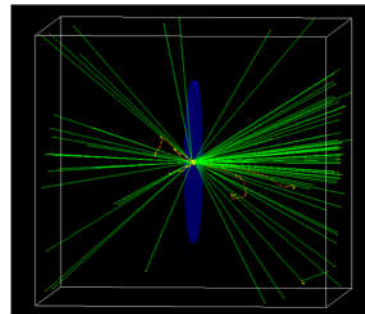
$$\text{(تعداد اتم‌های موجود در حجم} \times \text{atom } \sigma) = \text{کل } \sigma \quad (3)$$

که در این رابطه n تعداد انواع اتم می‌باشد. تعداد اتم‌های موجود در حجم را با توجه به چگالی ماده و درصد مولی اتم‌ها در ماده می‌توان محاسبه کرد. کل σ بر حسب (cm^2) بدست می‌آید که اگر تقسیم بر حجم ماده شود، μ ضریب تضعیف خطی بر حسب (cm^{-1}) بدست می‌آید.

$$\text{ضریب تضعیف جرمی} \quad (\frac{\mu}{\rho}) \text{ cm}^2 \quad (4)$$

این کمیت، با تقسیم ضریب تضعیف خطی بر چگالی ماده حفاظت، بدست می‌آید. با در نظر گرفتن ضریب تضعیف خطی بر حسب (cm^{-1}) و چگالی ماده بر حسب (g/cm^3) ضریب تضعیف جرمی بر حسب (cm^2/g) بدست می‌آید. ضریب تضعیف جرمی را از طریق دیگری نیز می‌توان محاسبه کرد. طبق رابطه (۴) خواهیم داشت (۳۶):

$$\left(\frac{\mu}{\rho} \right) = \sum_{i=1}^{i=n} w_i \left(\frac{\mu}{\rho} \right) \quad (4)$$



شکل ۱- شکل هندسی شبیه‌سازی شده در ابزار شبیه‌سازی جینت.^۴

مقطع عناصر که در کتابخانه خود دارد کمیت‌های فیزیکی مورد استفاده در فیزیک هسته‌ای را محاسبه نموده و در اختیار می‌گذارد. هر ماده ترکیبی با هر درصد ترکیب که باشد به روشه که خود برنامه مشخص نموده است به برنامه معرفی شده و در پایان کمیت‌های فیزیکی مربوط به آن ماده از این برنامه استخراج می‌شود. این برنامه محدوده انرژی گسترهای را پوشش داده و حتی انرژی تابش‌های هسته‌ای عناصر رادیواکتیو را در خود دارد.

۴-۲- تئوری

در بررسی کمی خواص حفاظتی یک ماده در مقابل اشعه گاما، بهترین روش، محاسبه پارامترهایی است که اثر تضعیف پرتو گاما بر مقادیر آن‌ها، مشهود باشد. در این خصوص چندین پارامتر وجود دارد که مقالات مختلف از آن استفاده نموده‌اند که در این مقاله نیز مورد استفاده قرار می‌گیرند. در این قسمت، کمیت‌های مربوط به تضعیف گاما به‌طور خلاصه توضیح داده می‌شوند:

$$\text{ضریب تضعیف خطی} \quad (\mu(\text{cm}^{-1}))$$

وقتی تابش فروندی در حالت ایده‌آل به صورت تک‌انرژی و در یک باریکه نازک در جهت عمود بر صفحه حفاظت وارد لایه حفاظ شود، شدت آن به صورت نمایی طبق رابطه (۱) کاهش می‌یابد (۳۶).

$$TVL = t \frac{1}{\mu} = \frac{\ln 10}{\mu} = \frac{2.303}{\mu} (\text{cm}) \quad (8)$$

مسیر آزاد میانگین ${}^1(\text{cm})$

مسیر آزاد میانگین، مسافتی است که پرتو گاما به صورت میانگین در داخل ماده طی می‌کند تا اولین برخورد را انجام دهد. که می‌توان آن را با استفاده از رابطه (۹) محاسبه نمود (۳۶).

$$MFP = \frac{1}{\mu} (\text{cm}) \quad (9)$$

که در آن μ همان ضریب تضعیف خطی ماده می‌باشد.

سطح مقطع اتمی کل (cm^2/atom) و سطح مقطع الکترونی کل ($\text{cm}^2/\text{electron}$)

سطح مقطع اتمی کل (σ_a) و سطح مقطع الکترونی کل (σ_e) به ترتیب طبق روابط (۱۰) و (۱۱) به دست می‌آیند.

$$\sigma_a = \frac{\frac{\mu}{\rho}}{N_A \sum_{i=1}^{i=n} \frac{W_i}{A_i}} \left(\frac{\text{cm}^2}{\text{atom}} \right) \quad (10)$$

$$\sigma_e = \frac{1}{N_A} \sum_{i=1}^{i=n} f_i A_i \left(\frac{\mu}{\rho} \right)_i \left(\frac{\text{cm}^2}{\text{electron}} \right) \quad (11)$$

در رابطه (۱۰)، N_A ، W_i ، A_i و ρ/μ به ترتیب وزن اتمی و کسر وزنی عنصر آن، عدد آلوگادرو و ضریب تضعیف جرمی ماده می‌باشند.

درصد وزنی عناصر در جدول (۱) آورده شده است که با تقسیم آن بر 100 کسر وزنی عناصر به دست می‌آید.

در رابطه (۱۱)، f_i و Z_i به ترتیب عدد اتمی، کسر مولی و ضریب تضعیف جرمی عنصر آن می‌باشند.

۳- نتایج و بحث

در جدول (۲)، ضریب تضعیف جرمی محاسبه شده توسط ابزار مونت‌کارلویی جینت^۴ و برنامه Phy-x برای ترکیبات پلیمری R1 تا R6 در محدوده انرژی $15\text{--}100$ مگا الکترون‌ولت

در این رابطه $\left(\frac{\mu}{\rho} \right)_i$ و w_i به ترتیب ضریب تضعیف جرمی و کسر وزنی عنصر آن در ترکیب پلیمر می‌باشند که $\sum_{i=1}^{i=n} w_i = 1$ در طرف چپ رابطه (۴)، ρ همان چگالی پلیمر است.

عدداتمی مؤثر (Z_{eff})

این متغیر طبق رابطه (۵) محاسبه می‌گردد (۳۶):

$$Z_{\text{eff}} = \frac{\sum_{i=1}^{i=n} f_i A_i \left(\frac{\mu}{\rho} \right)_i}{\sum_{j=1}^{j=n} f_j Z_j \left(\frac{\mu}{\rho} \right)_j} \quad (5)$$

که در این رابطه A_j ، Z_j و f_j به ترتیب وزن اتمی، عدداتمی، کسر مولی و ضریب تضعیف جرمی عنصر آن می‌باشد.

چگالی الکترونی مؤثر (N_{eff})

این متغیر طبق رابطه (۶) محاسبه می‌گردد (۳۶):

$$N_{\text{eff}} = N_A \frac{Z_{\text{eff}}}{\sum_{i=1}^{i=n} f_i A_i} \quad (6)$$

تنها مجهول این رابطه، N_A می‌باشد که برابر است با عدد آلوگادرو ($6.022 \times 10^{23}/\text{mol}$).

لایه نیم مقدار ${}^1(\text{cm})$ و لایه یک دهم مقدار ${}^9(\text{cm})$

این دو کمیت، مقدار ضخامتی از ماده هستند که شدت پرتو گاما، پس از عبور از این ضخامت از ماده، به $1/5$ و $1/10$ مقدار اولیه تقلیل می‌یابد. اگر در رابطه (۱) به جای I_0 / I مقدار $1/5$ را قرار دهیم و معادله را حل نماییم در این صورت t که همان ضخامت لایه است، طبق رابطه (۷)، برابر است با (۳۶):

$$HVL = t \frac{1}{2} = \frac{\ln 2}{\mu} = \frac{0.693}{\mu} (\text{cm}) \quad (7)$$

و اگر در رابطه (۱) به جای I_0 / I مقدار $1/10$ را قرار دهیم و معادله را حل نماییم در این صورت t که همان ضخامت لایه است، طبق رابطه (۸)، برابر است با (۳۵):

جدول ۲ - مقادیر ضرایب تضعیف جرمی محاسبه شده بر حسب انرژی های مختلف فوتون برای نزدیکیات پلیمری منتخب

Our Work	Phy-X	R1			R2			R3			Energy (MeV)
		%RD	Our Work	Phy-X	%RD	Our Work	Phy-X	%RD	Our Work	Phy-X	
۵۹/۵۵۴۶	۵۹/۵۵۴۶	۰/۰۰۳۴۵	۶۱/۵۵۴۶	۶۱/۵۵۴۶	۰/۰۱۱۲۳	۶۳/۵۵۸۵۸	۶۳/۵۵۸۵۹	۰/۰۰۳۴	۶۳/۵۵۸۵۹	۶۳/۵۵۸۵۹	۰/۰۱۱۲۳
۴۰/۴۲۶۹	۴۰/۴۲۶۹	۰/۰۲۶۶۹	۴۱/۲۲۷۷۸	۴۱/۲۲۷۷۸	۰/۰۲۳۷۳	۴۲/۲۳۷۳	۴۲/۲۳۷۴	۰/۰۲۱۸۴	۴۲/۲۳۷۴	۴۲/۲۳۷۴	۰/۰۲۱۸۴
۱۴/۱۱۴	۱۴/۱۱۴	۰/۰۱۱۹۱	۱۴/۴۳۷۱	۱۴/۴۳۷۱	۰/۰۰۵۲۴	۱۴/۸۰۲۱	۱۴/۷۷۹۱۰	۰/۰۰۷۵۰	۱۴/۷۷۹۱۰	۱۴/۷۷۹۱۰	۰/۰۰۷۵۰
۹/۴۲۱۲	۹/۴۲۱۲	۰/۰۱۳۷۰	۸/۸۸۳۸	۸/۸۸۳۸	۰/۰۱۶۰۳	۸/۳۲۵۰۹	۸/۳۲۵۰۹	۰/۰۱۹۸۰	۸/۳۲۵۰۹	۸/۳۲۵۰۹	۰/۰۱۹۸۰
۰/۰۲۸۸۵	۰/۰۲۸۸۵	۰/۰۰۳۹۴	۴/۹۹۴۱	۴/۹۹۴۱	۰/۰۱۱۱	۴/۷۷۰۰۸۳	۴/۷۷۰۰۸۳	۰/۰۰۳۲۲	۴/۷۷۰۰۸۳	۴/۷۷۰۰۸۳	۰/۰۰۳۲۲
۴/۱۱۲۰	۴/۱۱۲۰	۰/۰۱۵۴۴	۴/۳۲۵۲۰	۴/۳۲۵۲۰	۰/۰۲۲۴۰	۴/۵۸۲۸	۴/۵۸۲۸	۰/۰۰۶۷	۴/۵۸۲۸	۴/۵۸۲۸	۰/۰۰۶۷
۱/۹۶۶	۱/۹۶۶	۰/۰۸۴۲۹	۲/۰۷۵۵	۲/۰۷۵۵	۰/۰۹۷۹	۲/۱۸۵۴	۲/۱۸۵۴	۰/۰۰۸	۲/۱۸۵۴	۲/۱۸۵۴	۰/۰۰۸
۲/۶۷۹۷	۲/۶۷۹۷	۰/۰۷۰۷۵۲	۲/۷۷۴۲۲	۲/۷۷۴۲۲	۰/۰۰۵۹۴	۲/۸۰۴۷	۲/۸۰۴۷	۰/۰۰۵۴۰	۲/۸۰۴۷	۲/۸۰۴۷	۰/۰۰۵۴۰
۱/۰۰۱۳	۱/۰۰۱۳	۰/۰۰۱۷	۱/۰۰۲۹	۱/۰۰۲۹	۰/۰۰۵۷	۱/۰۰۵۷	۱/۰۰۵۷	۰/۰۰۴۵۶	۱/۰۰۴۵۶	۱/۰۰۴۵۶	۰/۰۰۴۵۶
۰/۰۲۲۳۸	۰/۰۲۲۳۸	۰/۰۹۴۴۶	۰/۰۵۳۳۶	۰/۰۵۳۳۶	۰/۰۰۹۰۵	۰/۰۴۹۰۵	۰/۰۴۹۰۵	۰/۰۰۹۴۳	۰/۰۴۹۰۵	۰/۰۴۹۰۵	۰/۰۰۹۴۳
۰/۰۴۲۲۳	۰/۰۴۲۲۳	۰/۰۲۲۹۹	۰/۰۲۴۵۷	۰/۰۲۴۵۷	۰/۰۲۴۳۲	۰/۰۲۴۹۲	۰/۰۲۴۹۲	۰/۰۰۴۳۲	۰/۰۲۴۹۲	۰/۰۲۴۹۲	۰/۰۰۴۳۲
۰/۱۵۶۰	۰/۱۵۶۰	۰/۱۰۰۰۷	۰/۰۱۵۷۷	۰/۰۱۵۷۷	۰/۰۱۵۷۳	۰/۰۲۴۴۱	۰/۰۲۴۴۱	۰/۰۰۴۲	۰/۰۲۴۴۱	۰/۰۲۴۴۱	۰/۰۰۴۲
۰/۱۱۹۴	۰/۱۱۹۴	۰/۱۱۸۹	۰/۰۳۶۲۰	۰/۰۳۶۲۰	۰/۰۱۱۹۹	۰/۰۳۷۸۲	۰/۰۳۷۸۲	۰/۰۰۴۲	۰/۰۳۷۸۲	۰/۰۳۷۸۲	۰/۰۰۴۲
۰/۰۰۹۹۳	۰/۰۰۹۹۳	۰/۰۹۸۹	۰/۰۴۸۳۷	۰/۰۴۸۳۷	۰/۰۰۹۹۴	۰/۰۴۹۴۴	۰/۰۴۹۴۴	۰/۰۰۹۹۳	۰/۰۴۹۴۴	۰/۰۴۹۴۴	۰/۰۰۹۹۳
۰/۰۰۷۸۰	۰/۰۰۷۸۰	۰/۰۷۷۳۰	۰/۰۷۷۸۳	۰/۰۷۷۸۳	۰/۰۸۱۶	۰/۰۷۷۸۶	۰/۰۷۷۸۶	۰/۰۸۶۳۶	۰/۰۷۷۸۶	۰/۰۷۷۸۶	۰/۰۸۶۳۶
۰/۰۰۶۶۱	۰/۰۰۶۶۱	۰/۰۶۵۲۱	۰/۰۷۸۳۹	۰/۰۷۸۳۹	۰/۰۶۶۳۰	۰/۰۷۹۴۷	۰/۰۷۹۴۷	۰/۰۷۹۵۲	۰/۰۷۹۴۷	۰/۰۷۹۴۷	۰/۰۷۹۵۲
۰/۰۰۴۴۵	۰/۰۰۴۴۵	۰/۰۴۴۵۰	۰/۰۴۴۹۱	۰/۰۴۴۹۱	۰/۰۴۴۶	۰/۰۵۹۰	۰/۰۵۹۰	۰/۰۰۴۷	۰/۰۵۹۰	۰/۰۵۹۰	۰/۰۰۴۷
۰/۰۰۳۸۷	۰/۰۰۳۸۷	۰/۰۳۲۷۷	۰/۰۳۲۷۷	۰/۰۳۲۷۷	۰/۰۳۸۸۹	۰/۰۳۲۰۰	۰/۰۳۲۰۰	۰/۰۳۲۰۵	۰/۰۳۲۰۰	۰/۰۳۲۰۰	۰/۰۳۲۰۵
۰/۰۰۳۶۴	۰/۰۰۳۶۴	۰/۰۳۶۴۶	۰/۰۳۶۵۵	۰/۰۳۶۵۵	۰/۰۳۶۶۶	۰/۰۳۶۶۷	۰/۰۳۶۶۷	۰/۰۳۶۶۸	۰/۰۳۶۶۷	۰/۰۳۶۶۷	۰/۰۳۶۶۸
۰/۰۰۳۵۶	۰/۰۰۳۵۶	۰/۰۴۲۵۲	۰/۰۴۲۰۹	۰/۰۴۲۰۹	۰/۰۳۵۷	۰/۱۱۳۸۴	۰/۱۱۳۸۴	۰/۰۳۵۹۱	۰/۱۱۳۸۴	۰/۱۱۳۸۴	۰/۰۳۵۹۱
۰/۰۰۳۵۸	۰/۰۰۳۵۸	۰/۰۴۲۵۶	۰/۰۴۶۶۹۵	۰/۰۴۶۶۹۵	۰/۰۴۳۶۸	۰/۰۴۰۸۷	۰/۰۴۰۸۷	۰/۰۴۰۵۶	۰/۰۴۰۸۷	۰/۰۴۰۸۷	۰/۰۴۰۵۶
۰/۰۰۳۶۷	۰/۰۰۳۶۷	۰/۰۴۳۶۴	۰/۰۴۳۷۰	۰/۰۴۳۷۰	۰/۰۴۳۷۰	۰/۰۴۳۷۰	۰/۰۴۳۷۰	۰/۰۴۳۷۰	۰/۰۴۳۷۰	۰/۰۴۳۷۰	۰/۰۴۳۷۰

آمده جدول -۲

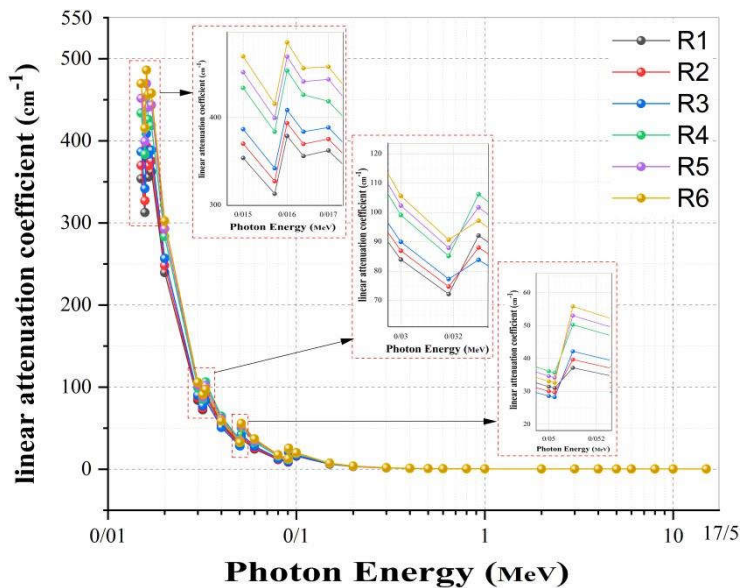
Our Work	Phy-X	R4		R5		R6		Energy (MeV)
		%RD	Our Work	Phy-X	%RD	Our Work	Phy-X	
۹۷/۱۶۵۲	۹۷/۱۶۵۲	۰/۰۱۰۲	۹۹/۱۷۸۰	۹۹/۱۷۹۴	۰/۰۰۱۳	۷۱/۱۹۸۷	۷۱/۱۹۳۵	۰/۰۰۰۷۱
۴۳/۸۸۵۲	۴۳/۸۸۵۲	۰/۰۳۲۲۸	۴۴/۸۴۴۴۳	۴۴/۹۴۱۰	۰/۲۱۵۲	۴۵/۸۰۳۳	۴۵/۸۹۴۴	۰/۱۹۸۷
۱۵/۳۴۶۷	۱۵/۳۴۶۷	۰/۰۰۳۰۹	۱۵/۶۷۷۷	۱۵/۶۷۷۷	۰/۰۱۹۴	۱۶/۰۰۲۳	۱۶/۰۰۴۰۹	۰/۰۰۳
۹/۹۶۲۸	۹/۹۶۲۸	۰/۰۱۰۱۶	۹/۴۳۵۰۲	۹/۴۳۵۰۲	۰/۰۲۱۷۵۰	۸/۹۰۶۰	۸/۹۳۱۲	۰/۰۰۴
۰/۰۹۰۵	۰/۰۹۰۵	۰/۰۱۹۷	۰/۲۹۵۷	۰/۲۹۵۷	۰/۰۰۵۹۴	۰/۰۰۰۴۰	۰/۰۰۰۴۰	۰/۰۰۰
۰/۱۱۶۸	۰/۱۱۶۸	۰/۰۸۰۸	۰/۳۵۰۷۵	۰/۳۵۰۷۵	۰/۰۳۲۴۰	۰/۰۵۵۸۸۲	۰/۰۳۶۳۷	۰/۰۰۷
۲/۴۳۰۴	۲/۴۳۰۴	۰/۰۷۵۳۴	۲/۵۴۰۳	۲/۵۴۰۳	۰/۰۵۵۹۹	۰/۰۷۵۰۱	۰/۰۷۸۴۲	۰/۰۰۸
۲/۹۳۵۰	۲/۹۳۵۰	۰/۰۵۰۶	۲/۹۹۷۵	۲/۹۹۷۵	۰/۰۴۰۷	۲/۰۰۲۰۰	۲/۰۰۶۱۳	۰/۰۱۰
۱/۰۸۵۳	۱/۰۸۵۳	۰/۰۰۵۷۱	۱/۱۰۷۰	۱/۱۰۷۰	۰/۰۸۴۴۳	۱/۱۱۲۸	۱/۱۱۱۵۳	۰/۰۱۳
۰/۰۵۶۰۹	۰/۰۵۶۰۹	۰/۰۱۰۸۰	۰/۰۵۷۰۷	۰/۰۵۷۰۷	۰/۰۱۰۴۹	۰/۰۵۸۰۶	۰/۰۰۴۷۸	۰/۰۲
۰/۰۲۵۴۰	۰/۰۲۵۴۰	۰/۰۲۵۱۳	۰/۰۲۵۷۴	۰/۰۲۵۷۴	۰/۰۸۱۲۳	۰/۰۲۴۰۹	۰/۰۲۵۸۱	۰/۰۰۸۸۸
۰/۱۶۰۸	۰/۱۶۰۸	۰/۰۲۴۱۰	۰/۱۶۲۰	۰/۱۶۲۰	۰/۰۴۹۷	۰/۰۱۶۴۰	۰/۰۱۶۳۶	۰/۰۴۰
۰/۱۱۲	۰/۱۱۲	۰/۰۳۷۹۰	۰/۱۱۲۰	۰/۱۱۲۰	۰/۰۳۸۳۰	۰/۰۱۲۰	۰/۰۱۱۳۰	۰/۰۱۳
۰/۰۱۰۰۴	۰/۰۱۰۰۴	۰/۰۴۹۲۷	۰/۱۰۱۰	۰/۱۰۱۰	۰/۰۴۹۵۱	۰/۰۱۰۶	۰/۰۱۰۱۱	۰/۰۱۰
۰/۰۰۷۸۱	۰/۰۰۷۸۱	۰/۰۵۷۷۴	۰/۰۵۷۷۴	۰/۰۵۷۷۴	۰/۰۷۷۵	۰/۰۷۸۰	۰/۰۷۸۰	۱
۰/۰۰۵۸۱	۰/۰۰۵۸۱	۰/۰۵۶۵۰	۰/۰۵۶۵۰	۰/۰۵۶۵۰	۰/۰۹۰۵۰	۰/۰۰۹۶۲	۰/۰۸۶۹۳	۰/۰۱۰
۰/۰۰۴۳۳	۰/۰۰۴۳۳	۰/۰۴۴۲۳	۰/۰۴۴۲۳	۰/۰۴۴۲۳	۰/۰۹۷۲	۰/۰۴۴۰	۰/۰۴۴۲۳	۰/۰۱۰
۰/۰۰۳۸۸	۰/۰۰۳۸۸	۰/۰۳۹۰۱	۰/۰۳۹۰۱	۰/۰۳۹۰۱	۰/۰۴۹۷۷	۰/۰۲۹۱	۰/۰۳۹۲۳	۰/۰۰۰۰۰
۰/۰۰۳۷۰	۰/۰۰۳۷۰	۰/۰۳۹۷۰	۰/۰۳۹۷۰	۰/۰۳۹۷۰	۰/۱۱۹۱	۰/۰۳۹۳۰	۰/۱۱۷۲۲	۰/۰
۰/۰۳۶۴	۰/۰۳۶۴	۰/۱۵۹۴	۰/۰۳۶۶	۰/۰۳۶۶	۰/۱۵۹۴	۰/۰۳۶۸	۰/۰۳۶۷	۰/۰۱۷۰۵
۰/۰۳۶۵	۰/۰۳۶۵	۰/۲۴۲۷۱	۰/۰۳۶۷	۰/۰۳۶۷	۰/۴۳۷۲	۰/۰۳۶۹	۰/۰۳۶۷	۰/۰۴۳۷۲
۰/۰۳۶۴	۰/۰۳۶۴	۰/۰۳۶۷۰	۰/۰۳۶۷۰	۰/۰۳۶۷۰	۰/۰۳۶۷	۰/۰۳۶۷	۰/۰۳۶۷	۰/۰۴۳۷۲
۰/۰۳۶۳	۰/۰۳۶۳	۰/۰۳۷۱۱	۰/۰۳۷۱۱	۰/۰۳۷۱۱	۰/۰۳۷۱۲	۰/۰۳۷۱۲	۰/۰۳۷۱۲	۰/۰۴۳۷۲

مگا الکترونولت است که به دلیل بر جسته بودن جذب فتوالکتریک در این ناحیه انرژی می‌باشد. این بدان معناست که با افزایش انرژی فوتون فرودی، کاهش در تضعیف رخ می‌دهد. که منجر به نفوذ بیشتر پرتوهای گاما در پلیمرها می‌شود. به علاوه، مقادیر ضریب تضعیف جرمی برای همه نمونه‌ها با افزایش انرژی فوتون تا ۲ مگا الکترونولت (تأثیر اثر فتوالکتریک) به سرعت کاهش می‌یابد. سپس، آن‌ها در محدوده انرژی ۲ تا ۱۵ مگا الکترونولت، تقریباً ثابت هستند (مستقل از انرژی فوتون) که در آن فرآیند پراکنده‌گی کامپتون غالب است که حتی اضافه شدن سطح مقطع فرآیند تولید زوج (هسته‌ای و الکتریکی) به مقادیر ضریب تضعیف جرمی تأثیر چندانی در افزایش آن ندارد. با کمی دقت در شکل (۳) متوجه خواهیم شد که مقادیر ضریب تضعیف جرمی در پنج قسمت دارای یک جهش کوچکی هستند. این پنج نقطه در محدوده‌های انرژی ۰/۰۱۵۷۱۱، (۰/۰۱۶۳۸۸)، (۰/۰۳۱۸۱۴)، (۰/۰۵۰۲۳۹) و (۰/۰۱۵۷۱۱) مگا الکترونولت قرار دارند که به ترتیب مربوط به جذب لبه L1 عنصر بیسموت، جذب لبه L2 عنصر گادولینیوم و جذب لبه K عنصر تلوریم، جذب لبه K عنصر گادولینیوم و جذب لبه K عنصر بیسموت می‌باشند. در تغییر انرژی از ۰/۰۱۶۳۸۸ تا ۰/۰۱۶۳۸۸ مگا الکترونولت و همچنین از ۰/۰۱۵۷۱۱ تا ۰/۰۱۷۰ مگا الکترونولت برای تمام نمونه‌ها روند کاهشی مقادیر ضریب تضعیف جرمی افزایشی می‌شود که این رفتار به دلیل جذب لبه L1 و L2 عنصر بیسموت می‌باشد. در تغییر انرژی از ۰/۰۳۱۸۱۴ تا ۰/۰۳۲۳ مگا الکترونولت، برای تمام نمونه‌ها روند کاهشی مقادیر ضریب تضعیف جرمی افزایشی می‌شود که به دلیل غلبه جذب لبه K عنصر تلوریم می‌باشد. در اینجا مقادیر ضریب تضعیف جرمی نمونه‌ها نسبت به هم جایه‌جا می‌شود که به میزان عنصر تلوریم موجود در نمونه‌ها بستگی دارد. در این نقطه از انرژی هر ترکیبی بیشترین مقدار تلوریم را داشته باشد ضریب تضعیف جرمی آن از بقیه بیشتر می‌شود. با این توصیف‌ها، پلیمر R4 دارای بیشترین مقدار و پلیمر R3 دارای کمترین مقدار ضریب تضعیف جرمی می‌شود.

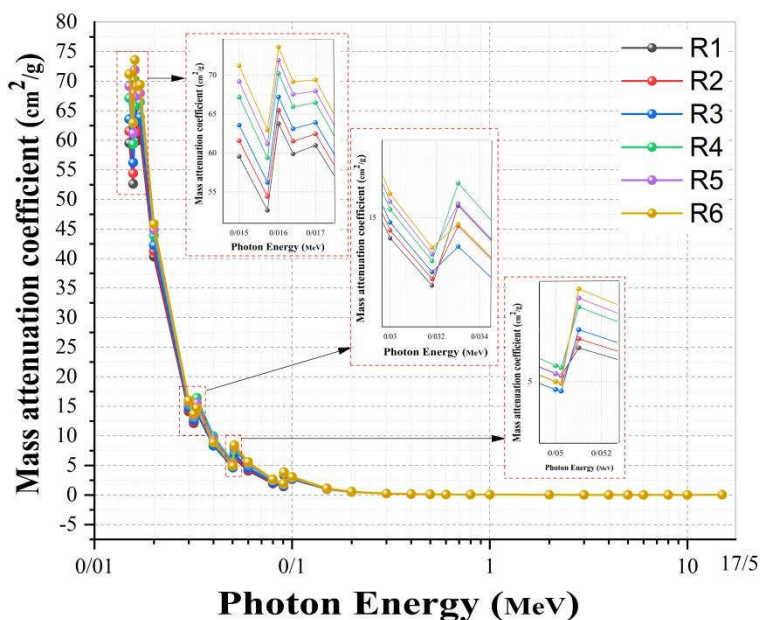
آورده شده است. مقایسه کمی نتایج این دو برنامه با نماد RD% که نماد درصد انحراف از معیار می‌باشد، که در جدول (۲) نشان داده شده است. لازم به توضیح است که رابطه درصد انحراف از معیار به صورت رابطه (۱۲) تعریف می‌شود.

$$RD\% = \frac{(\mu_{Ph-x} - \mu_{Geant4})}{\mu_{Geant4}} \quad (12)$$

مقادیر RD% برای ترکیبات پلیمری R1 تا R6 به ترتیب در محدوده‌های، (۰/۰۱۹۱ تا ۰/۰۲۰۷)، (۰/۰۰۹۷ تا ۰/۰۳۸۴)، (۰/۰۰۴۶۳ تا ۰/۰۰۰۲)، (۰/۰۰۷۵۶ تا ۰/۰۰۰۲۴) و (۰/۰۰۷۱ تا ۰/۰۰۸۸)، قرار دارند که حتی از ۰/۰۸۲۳ درصد هم فراتر نمی‌رود که نشان می‌دهد داده‌های حاصل از شبیه‌سازی جینت^۴، مطابقت خوبی با نتایج معیار دارد. شکل (۲) ضریب تضعیف خطی R1 تا R6 در محدوده انرژی ۰/۰۱۵ تا ۰/۰۱۵ مگا الکترونولت را نشان می‌دهد. از تقسیم مقادیر این نمودار بر چگالی نمونه‌ها ضریب تضعیف جرمی به دست می‌آید که در شکل (۳) نشان داده شده است روند تغییرات شکل (۲) و شکل (۳) تقریباً به یک شکل است. با توجه به شکل (۳) که به مقایسه ضریب تضعیف جرمی R1 تا R6 در محدوده انرژی ۰/۰۱۵ تا ۰/۰۱۵ مگا الکترونولت پرداخته است، مشاهده می‌شود که با افزایش انرژی گاما، ضریب تضعیف جرمی کاهش می‌یابد. به طور کلی، با افزایش اکسید گادولینیوم در داخل نمونه‌ها از ۰/۰۱۵ درصد وزنی تا ۳۰ درصد وزنی، همچنین کاهش اکسید تلوریم، ضریب تضعیف جرمی در این محدوده از انرژی‌ها افزایش یافته است، اما در بعضی نقاط نوساناتی دارد که در ادامه به توضیح آن خواهیم پرداخت. در انرژی ۰/۰۱۵ مگا الکترونولت، ضریب تضعیف جرمی از مقدار (cm²/g) ۵۹/۵۴۶۴ در R1 تا مقدار ۷۱/۱۹۸۷ در R6 افزایش می‌یابد که نشان می‌دهد با افزودن مواد با عدد اتمی بالاتر در یک ترکیب، قدرت جذب گاما ترکیب افزایش یافته و ضریب تضعیف جرمی آن بیشتر می‌شود. در میان نمونه‌های R1 تا R6، نمونه R1، به دلیل داشتن کمترین چگالی، قدرت تضعیف فوتون کمتری دارد. بیشترین ضریب تضعیف جرمی مربوط به بازه انرژی ۰/۰۱۵ تا ۰/۰۴



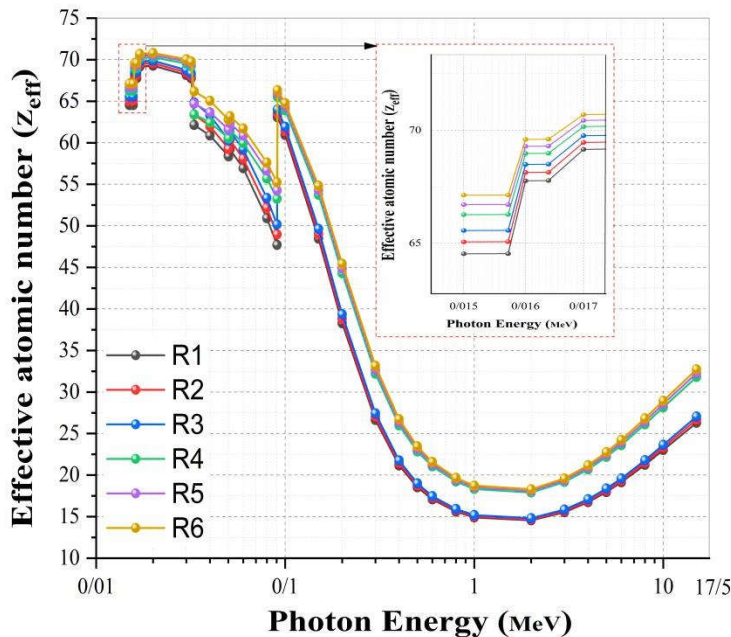
شکل ۲- تغییرات مقادیر ضریب تضعیف خطی کل برای پلیمرهای منتخب بر حسب انرژی فوتون‌های فروندی.



شکل ۳- تغییرات مقادیر ضریب تضعیف جرمی کل برای پلیمرهای منتخب بر حسب انرژی فوتون‌های فروندی.

به روند افزایشی اولیه R1 تا R6، خواهیم بود. در تغییر انرژی از ۰/۰۵۰۲۳۹ تا ۰/۰۵۱ مگا الکترونولت، جذب بیسموت در تمام نمونه‌ها باعث تغییر روند کاهشی مقادیر ضریب تضعیف جرمی به افزایشی می‌شود. در اینجا با توجه به روند افزایشی مقدار عنصر گادولینیوم از R1 تا عدد اتمی مؤثر در محدوده انرژی ۰/۰۱۵ تا ۰/۰۱۵ مگا الکترونولت

در تغییر انرژی از ۰/۰۵۰۲۳۹ تا ۰/۰۵۱ مگا الکترونولت، جذب لبه K عنصر گادولینیوم در تمام نمونه‌ها باعث تغییر روند کاهشی مقادیر ضریب تضعیف جرمی به افزایشی می‌شود. در اینجا با توجه به روند افزایشی مقدار عنصر گادولینیوم از R1 تا R6، شاهد جابجایی مقادیر ضریب تضعیف جرمی و بازگشت



شکل ۴- تغییرات مقادیر عدد اتمی مؤثر برای پلیمرهای منتخب بر حسب انرژی فوتونهای فروdi.

الکترونولت به بالا تناسب مقادیر ضریب تضعیف جرمی عناصر ترکیبات به هم می‌خورد. در این انرژی درصد مشارکت مقادیر ضریب تضعیف جرمی عنصر بیسموت که تقریباً حدود ۱/۵ تا ۲ برابر عنصر گادولینیوم و تلوریم و ۳ تا ۴ برابر عناصر دیگر موجود در ترکیبات است کاهش می‌یابد. با وارد شدن تأثیر عدد اتمی عناصر دیگر در محاسبه عدد اتمی مؤثر، میزان آن به طور چشمگیری کاهش می‌یابد. همانطور که در بالاتر اشاره گردید، سه قله در شکل (۴) مشاهده می‌شود. یکی در انرژی حدود ۰/۰۲۳ مگا الکترونولت، یکی در انرژی حدود ۰/۰۳۳ مگا الکترونولت و دیگری در انرژی حدود ۰/۱ مگا الکترونولت که به تفسیر آن می‌پردازیم. دو لبه جذب L برای عنصر بیسموت وجود دارد یکی L1 در ۱۵/۷۱۱ کیلو الکترونولت و دیگری L2 در ۱۶/۳۸۸ کیلو الکترونولت که اثرات جذب این لبه‌ها باعث افزایش مقادیر عدد اتمی مؤثر در حرکت از انرژی ۱۵/۰ مگا الکترونولت به سمت انرژی ۰/۰۲ مگا الکترونولت می‌شود. با توجه به اینکه جذب لبه K عنصر تلوریم در انرژی حدود ۰/۰۳۳ مگا الکترونولت رخ می‌دهد، در حرکت از انرژی ۰/۰۳۳ مگا الکترونولت به سمت انرژی ۰/۰۳۳ مگا الکترونولت، تأثیر

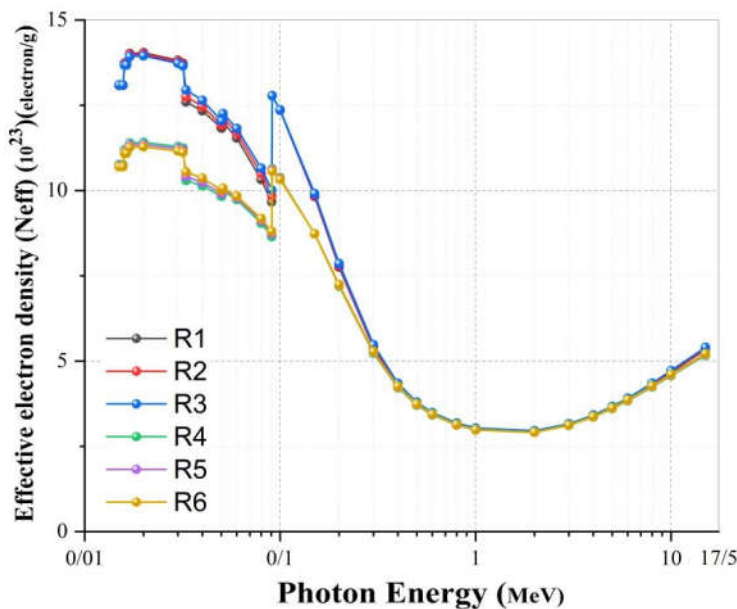
برای پلیمرهای R1 تا R6، را نشان می‌دهد. در این شکل مشاهده می‌شود که مقادیر عدد اتمی مؤثر، هم با انرژی فوتون و هم با افزایش چگالی نمونه‌ها تغییر می‌کند. روند تغییرات عدد اتمی مؤثر در شکل (۴) بدین صورت است که برای همه نمونه‌ها، در محدوده‌های انرژی ۰/۰۲، ۰/۰۳۳ و ۰/۱ مگا الکترونولت، به ترتیب افزایش، کاهش و افزایش ناگهانی مشاهده می‌شود. در نهایت یک روند پیوسته کاهشی افزایشی با شیب ملایم در عدد اتمی مؤثر را شاهد خواهیم بود. نکته‌ای که در اینجا قابل ذکر است این است که مقادیر ضریب تضعیف جرمی هر عنصری در ترکیبات پلیمر در هر انرژی نقش برجسته داشته باشد، Z آن عنصر نیز در محاسبه عدد اتمی مؤثر در آن انرژی، مؤثرتر خواهد بود. با توجه به این مطلب، در محدوده انرژی ۰/۰۳ تا ۰/۰۳ مگا الکترونولت به دلیل افزایش درصد مشارکت مقادیر ضریب تضعیف جرمی عنصر بیسموت، که حدود ۱/۵ تا ۲ برابر عناصر گادولینیوم و تلوریم و همچنین ۲۰ تا ۳۰ برابر عناصر دیگر موجود در ترکیبات پلیمر می‌یابند، عدد اتمی بالای عنصر بیسموت بیشترین تأثیر را در محاسبه عدد اتمی مؤثر از خود نشان می‌دهد. در انرژی یک مگا

معمولًا برای اینکه یک پلیمر به عنوان حفاظ پرتو گاما در نظر گرفته شود باید مقدار عدداتمی مؤثر بزرگی داشته باشد. زمانی که فوتون‌ها با تعداد الکترون‌های بیشتری مواجه شوند احتمال اندرکنش آن‌ها با الکترون‌ها و در نتیجه جذب فوتوالکتریک آن‌ها افزایش می‌یابد، به طوری که نمونه R6 یک جاذب خیلی خوب در مقایسه با سایر نمونه‌ها می‌باشد. شکل (۵) تغییرات چگالی الکترونی مؤثر بر حسب انرژی در محدوده انرژی ۰/۰۱۵ تا ۱۵ مگا الکترون‌ولت را نشان می‌دهد. چگالی الکترونی مؤثر از ضرب عدد اتمی مؤثر در عدد آووگادرو و تقسیم آن بر وزن اتمی میانگین ترکیب به دست می‌آید. از آنجایی که عدد آووگادرو و وزن اتمی میانگین برای یک ترکیب ثابت هستند و به انرژی فوتون فرودی بستگی ندارند؛ نتیجه می‌گیریم که شکل نمودار چگالی الکترونی مؤثر همان شکل نمودار عدد اتمی مؤثر است که در عدد ثابتی ضرب شده است. مقدار وزن اتمی میانگین از یک ترکیب به ترکیب دیگر تغییر می‌کند و ترکیبی که چگالی بیشتری دارد وزن اتمی میانگین آن بیشتر است. یعنی، نمودار مربوط به نمونه R6 بر عدد بزرگتری تقسیم شده و نمودار مربوط به نمونه R1 بر عدد کوچکتری تقسیم شده است. همین امر، باعث به هم ریختگی نمودارهای چگالی اتمی مؤثر شده و روندی که در نمودارهای عدداتمی مؤثر وجود داشته، کمی جایه‌جا می‌شود و از روی آن نمی‌توان وضعیت نمونه‌های R1 تا R6 را با یک نگاه با هم مقایسه کرد. روند تغییرات چگالی الکترونی مؤثر بر حسب انرژی فوتون، همان روند تغییرات عدد اتمی مؤثر بر حسب انرژی فوتون می‌باشد که تحلیل‌های نمودارهای عدداتمی مؤثر را برای نمودارهای چگالی الکترونی مؤثر نیز می‌توان در نظر گرفت.

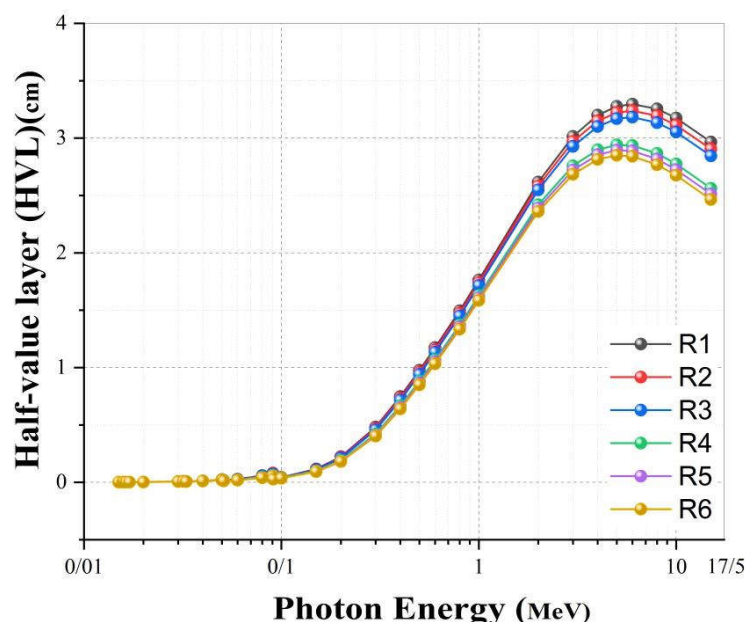
تنها یک نکته باقی می‌ماند و آن این است که در شکل (۵) برخلاف شکل (۴)، دو شاخه شدن نمودارها این‌بار در بازه انرژی قبل از ۰/۱ مگا الکترون‌ولت رخ می‌دهد. این به خاطر این است که چگالی نمونه‌ها از R1 تا R3 با اختلاف ۰/۰۷ گرم بر سانتی‌متر مکعب افزایش می‌یابد، ولی از R3 به R4 ناگهان یک افزایش ۰/۳۸ گرم بر سانتی‌متر مکعب رخ می‌دهد، سپس

عنصر تلویریم افزایش می‌یابد. در نتیجه با افزایش اثر عدد اتمی تلویریم در محاسبه عدد اتمی مؤثر، مقدار این متغیر کاهش می‌یابد در نهایت، با توجه به اینکه جذب لبه K عنصر بیسموت در انرژی حدود ۱/۰ مگا الکترون‌ولت رخ می‌دهد، در حرکت از انرژی ۰/۰۹ مگا الکترون‌ولت به سمت انرژی ۰/۱ مگا الکترون‌ولت، تأثیر عنصر بیسموت افزایش می‌یابد. در نتیجه، با افزایش عدد اتمی بیسموت در محاسبه عدد اتمی مؤثر، مقدار این متغیر افزایش می‌یابد. برای همه نمونه‌ها حداقل مقدار عدداتمی مؤثر در بازه انرژی ۰/۰۳ تا ۰/۰۱۵ مگا الکترون‌ولت رخ می‌دهد که به دلیل اثر جذب فوتوالکتریک است. همچنین در بازه انرژی ۰/۸ تا ۰/۰۱۵ مگا الکترون‌ولت، مقادیر عدد اتمی مؤثر به سرعت کاهش می‌یابد که به دلیل کاهش اثر جذب فوتوالکتریک با افزایش انرژی می‌باشد. در بازه انرژی ۰/۸ تا ۰/۲ مگا الکترون‌ولت، به دلیل بر جسته شدن اثر پراکندگی کامپتون، مقادیر عدد اتمی مؤثر تقریباً ثابت باقی می‌ماند و تغییرات آن قابل چشم‌پوشی است که این مقادیر در انرژی ۰/۵ مگا الکترون‌ولت به حداقل مقدار خود می‌رسد. از انرژی ۰/۲ مگا الکترون‌ولت به بالا، افزایش مقادیر عدد اتمی مؤثر با شیب ملایم رخ می‌دهد. که به دلیل اضافه شدن اثر تولید زوج در انرژی‌های بالا است.

با توجه به نمودار شکل (۴)، شاهد دو شاخه شدن نمودارها خواهیم بود. این بدان معنی است که از انرژی ۰/۱ مگا الکترون‌ولت به بالا، عناصر رزین، بیشترین تأثیر را در تعیین عدداتمی مؤثر خواهند داشت. دسته بالایی مربوط به گروه با رزین ۲۰ درصد می‌باشد که با تأثیر عدد اتمی عناصر دیگر بالاتر قرار می‌گیرد و دسته پایینی مربوط به گروه با رزین ۳۰ درصد می‌باشد. در تغییرات سطح مقطع‌های جذب فوتوالکتریک، پراکندگی کامپتون و تولید زوج بر حسب انرژی به ترتیب متناسب است با روابط $E^{-3.5}$ ، E^{-1} و $\log E$ و همچنین تغییرات این سطح مقطع‌ها بر حسب عدداتمی به ترتیب متناسب است با روابط $Z^{-4.5}$ و Z^{-2} . بیشترین مقدار عدد اتمی مؤثر مربوط به نمونه R6 با مقدار ۷/۷۹۹۲۲ در انرژی ۰/۰۲ مگا الکترون‌ولت می‌باشد.



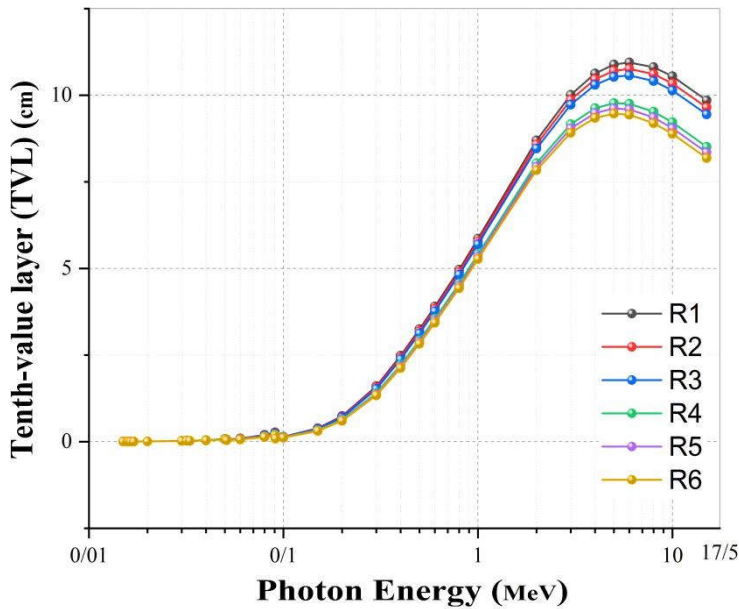
شکل ۵- تغییرات مقادیر چگالی الکترونی مؤثر برای پلیمرهای منتخب بر حسب انرژی فوتونهای فروودی.



شکل ۶- تغییرات مقادیر لایه نیم مقدار برای پلیمرهای منتخب بر حسب انرژی فوتونهای فروودی.

پلیمرهای R1 تا R6 در محدوده انرژی ۰/۰۱۵ تا ۱۵ مگا الکترونولت نشان داده می شود. از شکل های (۶) و (۷) مشاهده می شود لایه نیم مقدار و یکدهم مقدار تا ۰/۱ بسیار کوچک کمتر از ۰/۸۱ و ۲/۷ میلی متر) و تقریباً ثابت است. سپس، با افزایش انرژی فوتون، افزایش سریعی در مقادیر لایه نیم مقدار و

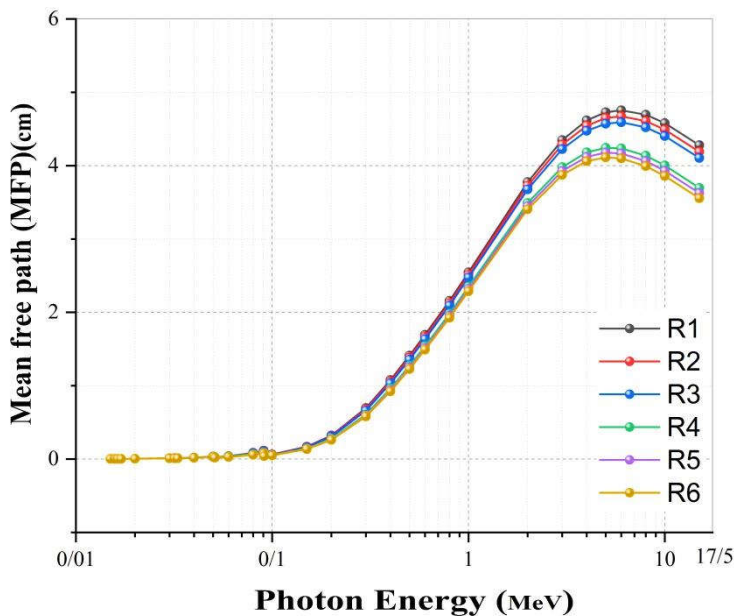
مجددآ از R4 تا R6 با اختلاف ۰/۰۷ گرم بر سانتی متر مکعب افزایش می یابد. همین دو دسته شدن چگالی ها، نمودار چگالی الکترونی مؤثر را در قسمت اول انرژی دو شاخه می کند و در قسمت دوم از حالت دو شاخه ای خارج نموده و یکی می کند. در شکل های (۶) و (۷)، لایه نیم مقدار و یکدهم مقدار برای



شکل ۷- تغییرات مقادیر لایه یکدهم مقدار برای پلیمرهای منتخب بر حسب انرژی فوتون‌های فرودی.

مباحث قبلی مربوط به ضریب تضعیف جرمی و عدد اتمی مؤثر تفسیر کرد. علاوه بر این، مقادیر لایه نیم‌مقدار و لایه یکدهم مقدار با افزایش چگالی در تمام پلیمرهای مورد مطالعه کاهش می‌یابد (کاهش ضخامت). تغییر مقادیر مسیر آزاد میانگین در محدوده انرژی فوتون $15/0\text{--}15/0$ مگاکترونولت برای همه نمونه‌های R1 تا R6 در شکل (۸) ارائه شده است. در اینجا تا محدوده انرژی $2/0$ مگاکترونولت، می‌توان مشاهده کرد که مقادیر مسیر آزاد میانگین از روند مشابه با مقادیر لایه نیم‌مقدار و لایه یکدهم‌مقدار برای همه پلیمرهای انتخاب شده پیروی می‌کند. تا انرژی $1/0$ مگاکترونولت، همه نمونه‌ها مقادیر افزایش انرژی، به حداقل مقدار خود در انرژی 6 مگاکترونولت برای نمونه‌های R1 تا R3 و در انرژی 5 مگاکترونولت برای نمونه‌های R4 تا R6 می‌رسد. پس از آن، مقادیر مسافت برای همه نمونه‌های R1 تا R6 می‌رسد. همان‌طور که برای روند مقادیر ضریب تضعیف جرمی، عدد اتمی مؤثر، لایه نیم‌مقدار و لایه یکدهم‌مقدار در مطالعه قبل توضیح داده شد، در اینجا، برای مقادیر مسافت آزاد میانگین نیز، فرآیندهای

لایه یکدهم‌مقدار رخ می‌دهد که به بالاترین مقدار در 6 مگاکترونولت برای پلیمرهای R1 تا R3 و در 5 مگاکترونولت برای پلیمرهای R4 تا R6 می‌رسند. از انرژی فوتون 5 و 6 مگاکترونولت به بعد، می‌توان متوجه شد که هر دو کمیت (لایه نیم‌مقدار و لایه یکدهم‌مقدار) با افزایش انرژی تا 15 مگاکترونولت کاهش جزئی نشان می‌دهند. در بین نمونه‌ها بیشترین مقادیر لایه نیم‌مقدار و لایه یکدهم‌مقدار شناسایی شده مربوط به نمونه R1 در 6 مگاکترونولت، با مقادیر $2/3$ سانتی‌متر و $9/95$ سانتی‌متر می‌باشد. با افزایش چگالی پلیمرها این مقادیر حداکثری (قله نمودار) نمونه به نمونه کاهش می‌یابد و اندکی جای‌جا می‌شود و در نمونه R6 به حداقل مقدار قله در انرژی 5 مگاکترونولت با مقادیر $2/85$ و $9/47$ سانتی‌متر می‌رسد. حداقل مقادیر لایه نیم‌مقدار و لایه یکدهم‌مقدار مشاهده شده برای پلیمرهای R2، R3، R4 و R5 به ترتیب $3/24$ و $9/77$ سانتی‌متر، $3/18$ و $10/57$ سانتی‌متر، $2/94$ و $10/76$ سانتی‌متر، $9/62$ و $2/9$ سانتی‌متر است. تغییرات در لایه نیم‌مقدار و لایه یکدهم‌مقدار در رابطه با انرژی فوتون را می‌توان به عنوان یک نتیجه از فرآیندهای جذب فتوالکتریک، پراکندگی کامپتون و تولیدزوج در مناطق مختلف انرژی، مشابه

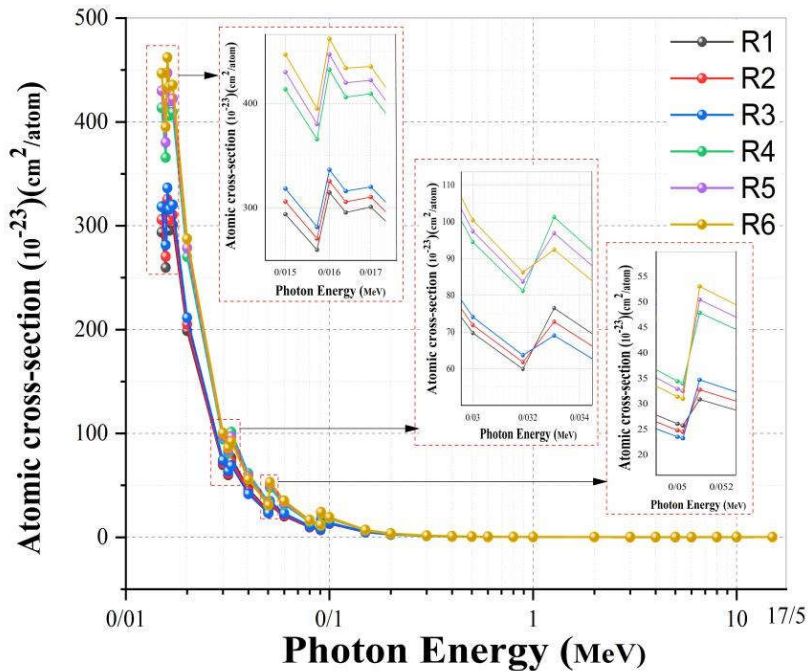


شکل ۸- تغییرات مقادیر مسافت آزاد میانگین برای پلیمرهای منتخب بر حسب انرژی فوتون‌های فرودی.

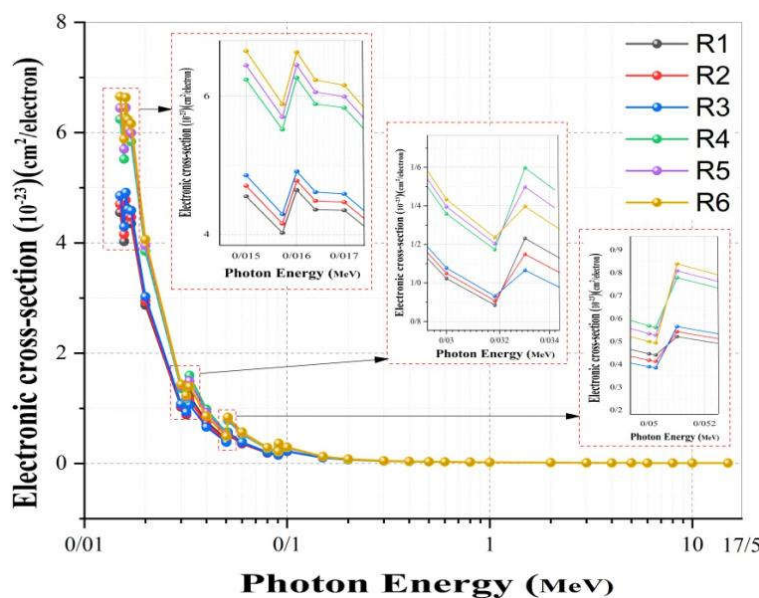
می‌شود. بزرگنمایی مربوط به مناطق انرژی فوتون $0\text{--}15\text{ MeV}$ تا $0\text{--}2\text{ MeV}$ مگا الکترون‌ولت، $0\text{--}0.3\text{ MeV}$ تا $0\text{--}0.4\text{ MeV}$ مگا الکترون‌ولت و $0\text{--}0.5\text{ MeV}$ تا 0.5 MeV مگا الکترون‌ولت، به عنوان نمودارهای درونی برای شکل‌ها نشان داده شده‌اند. برای همه نمونه‌های انتخاب شده، می‌توان متوجه شد که هر دو مقادیر سطح مقطع اتمی و سطح مقطع الکترونی با افزایش چگالی در انرژی‌های فوتون پایین‌تر افزایش می‌یابد، درحالی‌که تغییرات در این مقادیر در انرژی‌های بالاتر حداقل است. روند تغییرات مقادیر سطح مقطع اتمی و سطح مقطع الکترونی با تغییر انرژی فوتون گاما همانند روند تغییرات ضریب تضعیف جرمی می‌باشد. و تأثیرات لبه‌های عناصر بیسموت و تلوریم و گادولینیوم نیز در اینجا به همان شکل مشاهده می‌شود.

از آنجایی‌که بحث در مورد خاصیت حفاظتی یک ترکیب بدون پرداختن به ذرات ثانویه ناشی از اندرکنش‌های پرتوهای یونیزان با این ترکیب ناقص می‌باشد، در نتیجه در ادامه به بحث در مورد ذرات ثانویه^{۱۱} خواهیم پرداخت. اندرکنش پرتو گاما با ماده از چهار طریق اتفاق می‌افتد؛ ۱- اثر فوتوالکتریک -۲- پراکنده‌گی رایلی -۳- پراکنده‌گی کامپتون -۴- تولید زوج در پدیده فوتوالکتریک پرتو گاما جذب می‌شود و الکترون

فوتوالکتریک، پراکنده‌گی کامپتون و تولید زوج نقش مهمی در مناطق مختلف انرژی (یعنی کم، متوسط و زیاد) بازی می‌کنند. حداقل مقادیر مسافت آزاد میانگین شناسایی شده برای نمونه‌های R1 تا R3، در انرژی فوتون 6 MeV مگا الکترون‌ولت، 4.75 fm سانتی‌متر و 4.59 fm سانتی‌متر هستند. در حالی‌که، حداقل مقادیر مسافت آزاد میانگین برای نمونه‌های R4 تا R6، در انرژی فوتون 5 MeV مگا الکترون‌ولت، با مقادیر 4.24 fm سانتی‌متر، 4.18 fm سانتی‌متر و 4.11 fm سانتی‌متر مشاهده می‌شود. از شکل (۸)، مشاهده می‌شود که در محدوده انرژی فوتون درنظر گرفته شده، مقادیر مسافت آزاد میانگین برای نمونه R6 کمترین و برای نمونه R1 بیشترین است. در محدوده انرژی فوتون $0\text{--}15\text{ MeV}$ الکترون‌ولت این روند نشان می‌دهد که نمونه R6 با داشتن بالاترین عدد اتمی مؤثر، بهترین پلیمر محافظ در بین تمام نمونه‌های انتخاب شده است. زیرا به خوبی می‌دانیم که هرچه مقدار مسافت آزاد میانگین کمتر باشد، تضعیف اشعه گاما بهتر است (احتمال بیشتر برای برهم‌کنش‌های فوتون). برای همه نمونه‌های R4 تا R6، تغییرات در مقادیر سطح مقطع اتمی و سطح مقطع الکترونی در محدوده انرژی فوتون $0\text{--}15\text{ MeV}$ تا 15 MeV الکترون‌ولت به ترتیب در شکل‌های (۹) و (۱۰) نشان داده



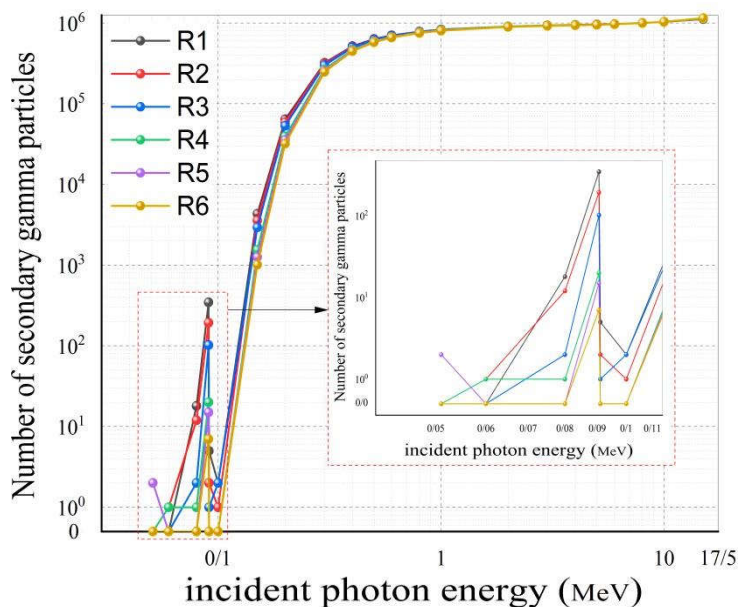
شکل ۹- تغییرات مقادیر سطح مقطع اتمی برای پلیمرهای منتخب بر حسب انرژی فوتونهای فروودی.



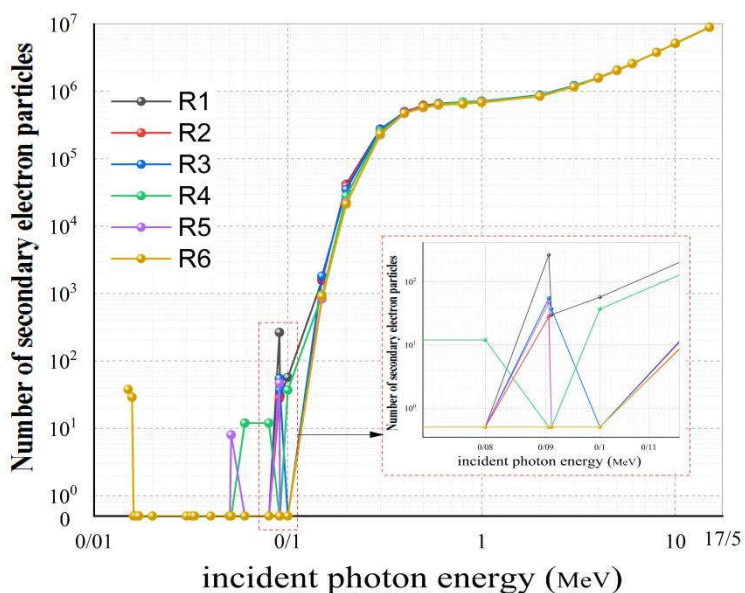
شکل ۱۰- تغییرات مقادیر سطح مقطع الکترونی برای پلیمرهای منتخب بر حسب انرژی فوتونهای فروودی.

پوزیترون ساطع می شود. با توجه به این مقدمات، در تابش پرتو گاما به یک ترکیب، ذرات ثانویه خروجی از آن، چیزی جز گاما، الکترون و پوزیترون نخواهد بود. شکل های (۱۱-۱۲) به ترتیب نمودار ذرات ثانویه گاما، الکترون و پوزیترون خروجی از یک

ساطع می شود. در پراکندگی رایلی فقط جهت پرتو گاما تغییر می کند. در پراکندگی کامپتون انرژی و جهت پرتو گاما می فروودی تغییر می کند و همچنین الکترون های ثانویه تولید می شود. در تولید زوج پرتو گاما از بین می رود و به جای آن الکترون و



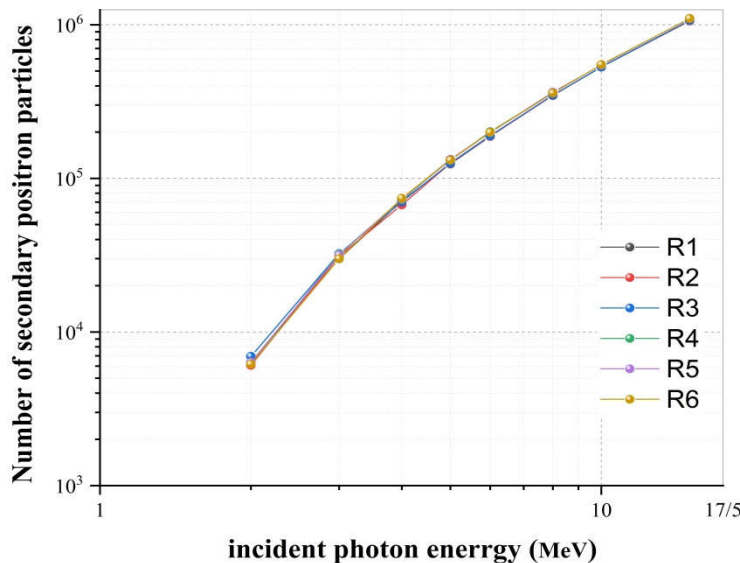
شکل ۱۱- تغییرات تعداد ذرات گاما ثانویه خروجی از حفاظ به ازای 10^6 ذره فرودی.



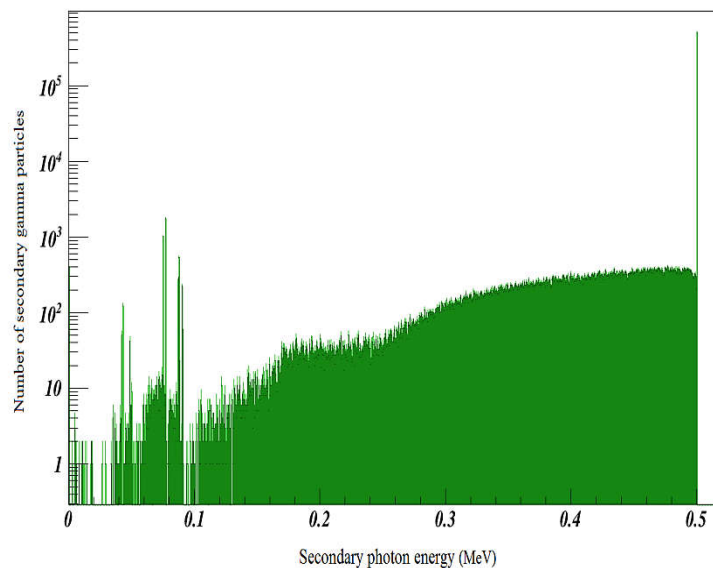
شکل ۱۲- تغییرات تعداد ذرات الکترون ثانویه خروجی از حفاظ به ازای 10^6 ذره فرودی.

الکترونولت به دلیل اثر لبه K عنصر بیسموت، هم ضریب تضعیف جرمی کاهش می‌یابد و هم شاهد افزایش ذرات ثانویه خواهیم بود. در شکل (۱۲) مشاهده می‌شود که در انرژی‌های ۱۵ تا ۱۷ کیلو الکترونولت با اینکه ضریب تضعیف جرمی به دلیل افزایش اثر فوتوالکتریک افزایش می‌یابد، اما تولید ذرات الکترون ثانویه نیز افزایش یافته که در خروجی حفاظ نمایان

حفاظ به ضخامت یک سانتی متر و شعاع 30° سانتی متر برای ترکیبات R1 تا R6، را بر حسب انرژی گاما فرودی به ازای 10^6 ذره فرودی، به تصویر می‌کشند. با توجه به شکل‌ها مشاهده می‌شود با تغییر ترکیب از R1 تا R6، نه تنها ضریب تضعیف جرمی آن افزایش یافته و بهبود می‌یابد بلکه ذرات ثانویه خروجی از حفاظ نیز کاهش می‌یابد. در انرژی 0.090524 مگا



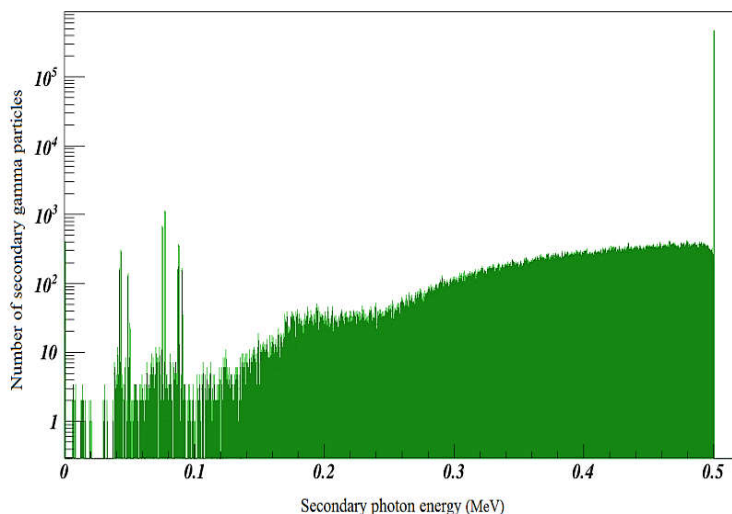
شکل ۱۳- تغییرات تعداد ذرات پوزیترون ثانویه خروجی از حفاظ بهازی 10^6 ذره فرودی.



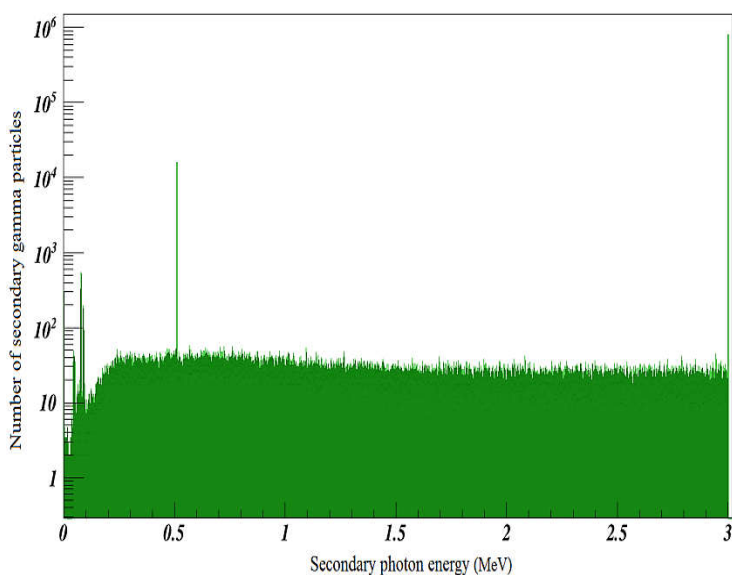
شکل ۱۴- نمایش طیف انرژی گاما می ثانویه خروجی از حفاظ R1 بهازی 10^6 ذره فرودی با انرژی $0/5$ مگا الکترون ولت.

آنها برای هر شش ترکیب تقریباً یکسان است. شکل های (۱۸-۱۴) به بررسی طیف انرژی ذرات ثانویه می پردازد. شکل های (۱۴) و (۱۵) به ترتیب طیف انرژی ذرات گاما می ثانویه برای ترکیبات R1 و R6، بهازی ذرات گاما می فرودی با انرژی 500 کیلو الکترون ولت را نشان می دهند. با دقت در این دو شکل به چند نکته پی خواهیم برد. اکثر گاماهای خروجی همان گاما می

می شوند. انرژی این الکترون ها از 1 تا 14 کیلو الکترون ولت متغیر است و کمتر از نیمی از آنها دارای انرژی زیر یک کیلو الکترون ولت می باشند. پس، افزایش اثر فتوالکتریک لزوماً مطلوب نیست، بلکه منجر به افزایش الکترون های ثانویه نیز خواهد شد. ذرات پوزیترون ثانویه در انرژی های نزدیک 2 مگا الکترون ولت به بالا در خروجی حفاظ مشاهده می شوند و مقدار



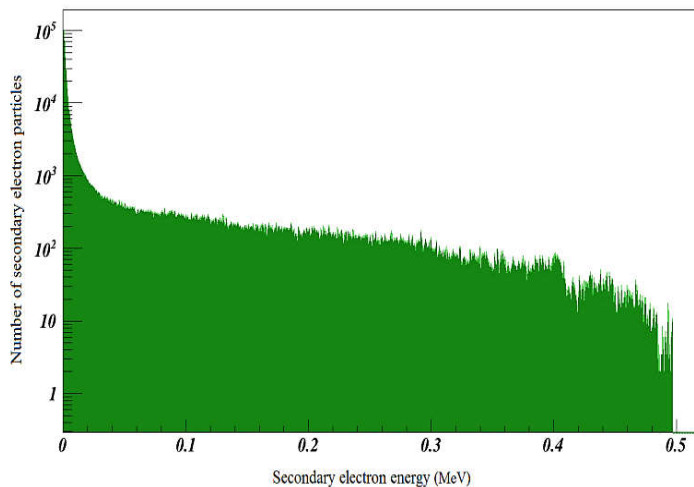
شکل ۱۵- نمایش طیف انرژی گاما می ثانویه خروجی از حفاظ $R6$ به ازای 10^6 ذره فرودی با انرژی 5% مگا الکترونولت.



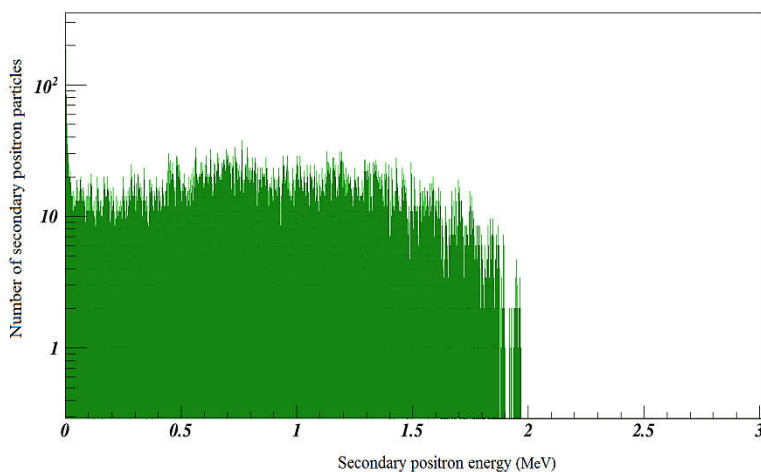
شکل ۱۶- نمایش طیف انرژی گاما می ثانویه خروجی از حفاظ $R6$ به ازای 10^3 ذره فرودی با انرژی 3% مگا الکترونولت.

گاماهاي با انرژي متناظر اين قله‌ها ساطع خواهد شد. به دليل بالا بودن احتمال رخداد اين پدیده، تعداد گاماهاي خروجی با انرژي قله‌ها افزایش می‌يابد. شکل (۱۶)، طیف انرژی گاماهاي خروجی از حفاظ $R6$ به ازای ذرات گاما می فرودی با انرژی 3 مگا الکترونولت را نشان می‌دهد. در اين شکل، علاوه بر قله‌هاي شکل (۱۴)، قله دیگري در انرژي 511 کيلو الکترونولت مشاهده می‌شود که مربوط به نابودي پوزيترون است. شکل (۱۷)

ورودي می‌باشند که بدون برخورد از حفاظ خارج می‌شوند. برای هر دو شکل در بازه انرژي 40 تا 91 کيلو الکترونولت تعدادي قله مشاهده می‌شود که مربوط به مدارهای انرژي عنصر بیسموت، گادولینیوم و تلوریم می‌باشند. در اثر جذب فوتوكتریک در لبه K عنصر بیسموت، گادولینیوم و تلوریم محل الکترون در اين لایه خالی می‌شود و با جایگزینی الکترون‌های لایه‌های بالاتر یا الکترون‌های ثانویه در اين لایه،



شکل ۱۷- نمایش طیف انرژی الکترون ثانویه خروجی از حفاظ R6 به ازای 10^6 ذره فرودی با انرژی 5° مگا الکترون ولت.



شکل ۱۸- نمایش طیف انرژی پوزیترون ثانویه خروجی از حفاظ R6 به ازای 10^6 ذره فرودی با انرژی 3° مگا الکترون ولت.

انرژی ذرات فرودی صرفاً تولید زوج شده است. همچنین مشاهده می‌کنیم طیف انرژی پوزیترون‌های ثانویه خروجی در همه انرژی‌ها تقریباً یکنواخت است.

۴- نتیجه‌گیری

با استفاده از ابزار شبیه‌سازی جینت^۴، تأثیر اکسید بیسموت و اکسید گادولینیوم به عنوان یک تقویت‌کننده بر تولناکی محافظ گاما مبتنی بر رزین غیر اشباع در قالب 6° نوع ترکیب پلیمری به صورت کمی بررسی شد. نتایج نشان داد که اختلاف بین داده‌های شبیه‌سازی جینت^۴ و پایگاه داده Phy-x از مرتبه $1^{\circ}/022$ است که نشان می‌دهد 10^6 مگا الکترون ولت از

طیف انرژی الکترون‌های ثانویه خروجی از حفاظ P6 به ازای ذرات گاما فرودی با انرژی 5° کیلو الکترون ولت را نشان می‌دهد. از آنجا که شکل طیف انرژی الکترون‌های ثانویه با تغییر ترکیبات حفاظ از R1 تا R6، و همچنین با تغییر انرژی گاماها فرودی، مشابه شکل (۱۷) است، به همین شکل بسته نمودیم. شکل (۱۸)، طیف انرژی پوزیترون‌های ثانویه خروجی از حفاظ R6 به ازای ذرات گاما فرودی با انرژی 3° مگا الکترون ولت را نشان می‌دهد. با کمی دقیق در این شکل متوجه خواهیم شد که انرژی این ذرات در محدوده کمتر از 2° مگا الکترون ولت است که نشان می‌دهد 10^6 مگا الکترون ولت از

به عنوان یک تضعیف کننده پرتوی عالی پیشنهاد می‌کند که می‌تواند جایگزین خوبی برای پلیمرهای حاوی سرب، عنصری با سمتیت بالا، در تاسیساتی مانند راکتورهای هسته‌ای و رادیوتراپی پزشکی شود. با بررسی ذرات ثانویه و انرژی آنها، مسیرهایی که ترکیب این ذرات هموارتر شده است که نماید در بررسی حفاظت نادیده گرفته شود. همچنین با بررسی طیف گاماهای خروجی از حفاظ و تحلیل قله‌های انرژی آن می‌توان برخی از عناصر موجود در حفاظ را شناسایی کرد.

تشکر و سپاسگزاری

این تحقیق حمایت خاصی از مؤسسات عمومی، صنعتی و غیرانتفاعی دریافت نکرده است.

تضاد منافع

نویسنده‌گان مقاله اذعان دارند هیچ نوع تضاد منافعی با شخص، شرکت یا سازمانی برای این پژوهش ندارند.

درصد بود که نشان‌دهنده دقیق و صحیح شبیه‌سازی‌های انجام شده با ابزار شبیه‌سازی جینت^۴ می‌باشد. نتایج به‌گونه‌ای است که با افزایش گادولینیوم و درنتیجه چگالی ترکیب، ضربیت تضعیف خطی و ضربیت تضعیف جرمی و همچنین عدد اتمی مؤثر، به صورت کلی در هر نقطه از انرژی گاما (به جز محدوده ۰/۰۳۳ تا ۰/۰۵۰۲۳۹ مگا الکترون ولت)، که در این محدوده، روند افزایشی وابسته به افزایش تلویم است)، افزایش می‌یابد و لایه نیم‌مقدار، لایه یک‌دهم‌مقدار و مسیر آزاد میانگین روند کاهشی را نشان می‌دهد. با توجه به نمودار نتایج ضربیت تضعیف جرمی معلوم می‌شود که اگر ما یک گرم از هر شش ترکیب را در نظر بگیریم، ترکیب با بیشترین گادولینیوم به طور کلی سطح مقطع تضعیف بزرگ‌تری دارد که در نتیجه در یک وزن مشخص می‌توان پلیمرهای نازک‌تر با کارایی تضعیف فوتون بهتری تولید کرد. چگالی بالا (۶/۶ گرم بر سانتی‌مترمکعب)، مقادیر بالای ضربیت تضعیف جرمی و عدد اتمی مؤثر، مقادیر کم لایه نیم‌مقدار، لایه یک‌دهم‌مقدار و مسیر آزاد میانگین که برای نمونه R6 استنتاج شده است، آن را

واژه‌نامه

- 1. Geant4
- 2. photoelectric absorption
- 3. Compton scattering
- 4. Rayleigh scattering
- 5. pair production
- 6. linear attenuation coefficient
- 7. mass attenuation coefficient
- 8. half-value layer
- 9. tenth value layer
- 10. mean free path
- 11. secondary particles

مراجع

1. Cózar IR, Otero F, Maimí P, González EV, Turon A, Camanho PP. An enhanced constitutive model to predict plastic deformation and multiple failure mechanisms in fibre-reinforced polymer composite materials. Compos Struct. 2024; 330: 117696. <https://www.sciencedirect.com/science/article/pii/S0263822323010425?via%3Dhub>
2. Bhownik S, Kumar S, Mahakur VK. Various factors affecting the fatigue performance of natural fiber-reinforced polymer composites: a systematic review. Iran Polym J. 2023; 33(2): 249–71. <https://doi.org/10.1007/s13726-023-01243-z>
3. Makinde-Isola BA, Taiwo AS, Oladele IO,
- Akinwekomi AD, Adelani SO, Onuh LN. Development of sustainable and biodegradable materials: A review on banana and sisal fibre-based polymer composites. J Thermoplast Compos Mater. 2023; 37(4): 1519–39. <https://doi.org/10.1177/08927057231186324>
- Machello C, Bazli M, Santos J, Rajabipour A, Arashpour M, Hassanli R. Tensile strength retention of fibre-reinforced polymer composites exposed to elevated temperatures: A meta-analysis review. Constr Build Mater. 2024; 438: 137150. <https://doi.org/10.1016/j.conbuildmat.2024.137150>
- Moola AK, Prabhakar MR, Dey B, Paramasivan B,

- Vangala SM, Jakkampudi R, et al. Biopolymeric composite materials for environmental applications. *Phys Sci Rev.* 2023; 9(6): 2153–74. <https://doi.org/10.1515/psr-2022-0223>
6. Khan F, Hossain N, Mim JJ, Rahman SMM, Iqbal MdJ, Billah M, et al. Advances of Composite Materials in Automobile Applications – a review. *J Eng Res.* 2024 [In Press]. <https://doi.org/10.1016/j.jer.2024.02.017>
 7. Yamaya T, Tashima H, Takyu S, Takahashi M. Whole gamma imaging. *PET Clin.* 2024; 19(1): 83–93. <https://doi.org/10.1016/j.petcl.2023.08.003>
 8. Hiremath GB, Singh VP, Patil PN, Ayachit NH, Badiger NM. Investigation of the nuclear radiation parameters of some Ti alloys for biomedical applications. *Radiat Eff Defects Solids.* 2023; 179: 301–314. <https://doi.org/10.1080/10420150.2023.2265020>
 9. Saleh A, Almohiy H, Shalaby RM, Saad M. Comprehensive investigation on physical, structural, mechanical and nuclear shielding features against X/gamma-rays, neutron, proton and alpha particles of various binary alloys. *Radiat Phys Chem.* 2024; 216: 111443. <https://doi.org/10.1016/j.radphyschem.2023.111443>
 10. Alzahrani FMA, Elqahtani ZM, Alzahrani JS, Eke C, Alrowaili ZA, Al-Buriahi. Gamma attenuation characteristics of silicon-rich glasses in Na_2O – SiO_2 – Al_2O_3 – CaO – ZnO system for radiation applications. *J Radiat Res Appl Sci.* 2024; 17(1): 100760. <https://doi.org/10.1016/j.jrras.2023.100760>
 11. Alabsy MT, Abbas MI, El-Khatib AY, El-Khatib AM. Attenuation properties of poly methyl methacrylate reinforced with micro/nano ZrO_2 as gamma-ray shields. *Sci Rep.* 2024; 14(1): 1279. <https://doi.org/10.1038/s41598-024-51551-4>
 12. Eshghi M, Alipoor M. A Comprehensive Study of Gamma-rays Shielding Features of Binary Compounds. *Prog Phys Appl Mater.* 2024; 4(1): 59–67. <https://doi.org/10.22075/ppam.2024.32949.1082>
 13. Elmahroug Y, Tellili B, Souga C, Manai K. ParShield: A computer program for calculating attenuation parameters of the gamma rays and the fast neutrons. *Ann Nucl Energy* 2015; 76: 94–9. <https://doi.org/10.1016/j.anucene.2014.09.044>
 14. Sadeq, Bashter II, Salem SM, Mansour SF, Saudi HA, Sayyed MI, et al. Enhancing the gamma-ray attenuation parameters of mixed bismuth/barium borosilicate glasses: Using an experimental method, Geant4 code and XCOM software. *Prog Nuclear Energy* 2022; 145: 104124. <https://doi.org/10.1016/j.pnucene.2022.104124>
 15. Abbasova N, Yüksel Z, Abbasov E, Gülbicism H, Tufan MC. Investigation of gamma-ray attenuation parameters of some materials used in dental applications. *Results in Phys.* 2019; 12: 2202–5. <https://doi.org/10.1016/j.rinp.2019.02.068>
 16. Alsayed Z, Badawi MS, Awad R, Thabet AA, El-Khatib AM. Study of some γ -ray attenuation parameters for new shielding materials composed of nano ZnO blended with high density polyethylene. *Nucl Technol Radiat Prot.* 2019; 34(4): 342–52. <https://doi.org/10.2298/ntrp190718033a>
 17. Baiocco G, Bocchini L, Giraudo M, Barbieri S, Narici L, Lobascio C, et al. Innovative solutions for personal radiation shielding in space. *Radiat Prot Dosimetry* 2018; 183(1–2): 228–32. <https://doi.org/10.1093/rpd/ncy216>
 18. Ahern M, McEntee MF, Moore N. Radiographers' attitudes toward the use of lead contact shielding. *J Med Radiat Sci.* 2023; 54(3): 415–20. <https://doi.org/10.1016/j.jmir.2023.07.006>
 19. Mansouri E, Mesbahi A, Malekzadeh R, Mansouri A. Shielding characteristics of nanocomposites for protection against X- and gamma rays in medical applications: effect of particle size, photon energy and nano-particle concentration. *Radiat Environ Biophys* 2020; 59(4): 583–600. <https://doi.org/10.1007/s00411-020-00865-8>
 20. Burahmah N, Heilbronn L. Dose measurements at Provision Proton Therapy Center. *Health Phys.* 2024; 126(4): 252–8. <https://doi.org/10.1097/hp.0000000000001796>
 21. Zensen S, Bos D, Opitz M, Forsting M, Guberina N, Deuschl C, et al. Single- and Dual-Source CT myelography: comparison of radiation exposure and establishment of diagnostic reference levels. *Diagnostics* 2021; 11(10): 1809. <https://doi.org/10.3390/diagnostics11101809>
 22. Akwudike P, López-Riego M, Marczyk M, Kocibalova Z, Brückner F, Polańska J, et al. Short- and long-term effects of radiation exposure at low dose and low dose rate in normal human VH10 fibroblasts. *Front Public Health* 2023; 11: 1297942. <https://doi.org/10.3389/fpubh.2023.1297942>
 23. Lubczak R, Duliban J. Derivatives of phenylene-1,2-diamine as modifiers for unsaturated polyester resins. *Acta Chim Slov.* 2020; 67(1): 221–34. <https://doi.org/10.17344/acsi.2019.5374>
 24. Yilmaz M, Akman F. Gamma radiation shielding properties for polymer composites reinforced with bismuth tungstate in different proportions. *Appl Radiat Isot.* 2023; 200: 110994. <https://doi.org/10.1016/j.apradiso.2023.110994>
 25. Mehnati P, Malekzadeh R, Sooteh MY. Use of bismuth shield for protection of superficial radiosensitive organs in patients undergoing computed tomography: a literature review and meta-analysis. *Radiol Phys Technol.* 2019; 12(1): 6–25. <https://doi.org/10.1007/s12194-019-00500-2>
 26. Mahalingam S, Kwon DS, Kang SG, Kim J. Multicomponent X-ray shielding using sulfated cerium oxide and bismuth halide composites. *Mol.* 2023; 28(16): 6045. <https://doi.org/10.3390/molecules28166045>
 27. Akman F, Kaçal, Almousa N, Sayyed MI, Polat H.

- Gamma-ray attenuation parameters for polymer composites reinforced with BaTiO₃ and CaWO₄ compounds. *Prog Nuclear Energy* 2020; 121: 103257. <https://doi.org/10.1016/j.pnucene.2020.103257>
28. Elsaifi Mohamed, Almuqrin AH, Almutairi HM, Al-Saleh WM, Sayyed MI. Grafting red clay with Bi₂O₃ nanoparticles into epoxy resin for gamma-ray shielding applications. *Sci Rep.* 2023; 13(1): 5472. <https://doi.org/10.1038/s41598-023-32522-7>
29. Almuqrin AH, Sayyed MI, Khandaker MU, Elsaifi M. Exploring the impact of Bi₂O₃ particle size on the efficacy of dimethylpolysiloxane for medical gamma/X-rays shielding applications. *Radiat Phys Chem.* 2024; 220: 111629. <https://doi.org/10.1016/j.radphyschem.2024.111629>
30. Pączkowski P, Puszka A, Gawdzik B. Investigation of degradation of composites based on unsaturated polyester resin and vinyl ester resin. *Mater.* 2022; 15(4): 1286. <https://doi.org/10.3390/ma15041286>
31. Hashemi R, Tajik M, Asadi-Amirabadi E. Design and manufacture of composite flexible shield for neutron-gamma mixed fields. *J Radiat Saf Meas.* 2019; 8: 25-34. <https://doi.org/10.22052/7.2.25>
32. Zhou L, Zhu X, Shen P, Huang C, Guo S, Zhou W, Gao Y. Constructing multilayered WB₂/Bi/poly(ethylene-co-1-octene) composites with excellent nuclear radiation shielding efficiency and radiation damage prevention. *J Chem Eng.* 2023; 464: 142625. <https://doi.org/10.1016/j.cej.2023.142625>
33. Apte K, Bhide S. Basics of radiation. In: Elsevier eBooks [Internet]. 2024. p. 1–23. .<https://doi.org/10.1016/b978-0-323-95387-0.00013-3>
34. Alipoor M, Eshghi M. Ionizing radiation shielding properties of ceramic fibers using Monte Carlo simulation. *Jicers* 2023; 18(4) :48-56 (In Persian). <http://jicers.ir/article-1-463-fa.html>
35. Arce P, Bolst D, Bordage M, Brown JMC, Cirrone P, Cortés-Giraldo MA, Wright DH. Report on G4-Med, a Geant4 benchmarking system for medical physics applications developed by the Geant4 Medical Simulation Benchmarking Group. *Med Phys.* 2020; 48(1): 19–56. <https://doi.org/10.1002/mp.14226>
36. Alipoor M, Eshghi M. Monte Carlo simulation and determination of gamma ray protection characteristics of composites containing Bismuth Oxide and elements of Gadolinium, Titanium, Tungsten, Zirconium, Zinc and Yttrium. *J Sci Technol Compos.* 2024; 10(4): 2348-2356 (In Persian). <https://doi.org/10.22068/jstc.2024.2007267.1845>